

وزارة التعليم والبحث العلمي  
MINISTERE DE L'ENSEIGNEMENT ET DE LA RECHERCHE SCIENTIFIQUE

200C

## ECOLE NATIONALE POLYTECHNIQUE

DEPARTEMENT : ELECTRONIQUE

### PROJET DE FIN D'ETUDES

**SUJET**

CONTRIBUTION A L'ETUDE DE  
LA GENERALISATION SPATIALE  
D'UN MODELE DE BILAN  
ENERGETIQUE

Proposé par :

M<sup>r</sup>: A. ABDELLAOUI

Etudié par :

A. SAIGHI

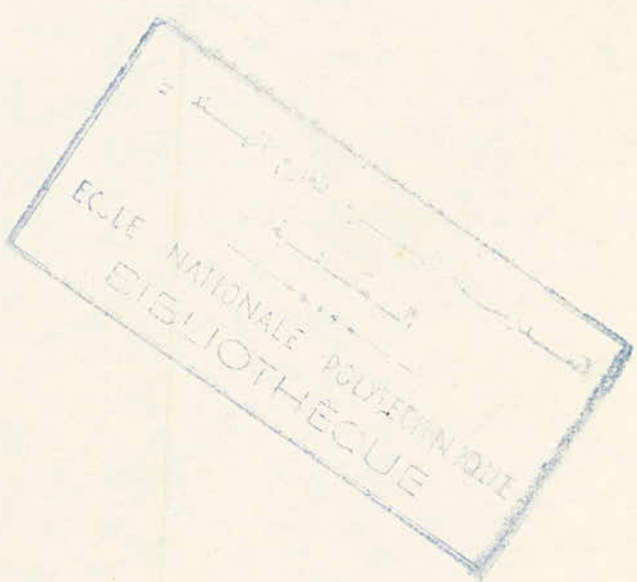
Dirigé par :

H. SI SAID



PROMOTION :

JANVIER 84



-oOo- Dédicaces -oOo-

A mon père, à ma mère  
-à qui je dois tout-  
A mon oncle Zerrouk  
-pour son aide inestimable-  
A mes frères et soeurs  
A ma famille  
A mes amis

-oOo- Abdelhamid -oOo

A mon père, à mon frère  
- à qui je dois tout-  
A mon oncle Seddik  
A tous mes amis

-oOo- Hanafi -oOo-

-oOo- AVANT-PROPOS -oOo-

Les travaux qui font l'objet de ce projet ont été conduits au sein du laboratoire d'étude spatiale des rayonnements (C.E.N) .

Nous remercions vivement M. A. ABDELLAOUI, Directeur du groupe de recherches en télédétection au C.E.N d'Alger pour nous avoir guidés, encouragés et conseillés tout au long de ce projet.

Qu'il veuille bien trouver ici l'expression de notre sincère gratitude.

Nous exprimons notre sincère reconnaissance à M. A. BÉCHIR, informaticien, pour la bienveillance qu'il nous a témoigné et pour son aide qui nous a été d'une grande utilité.

Nos remerciements vont aussi au personnel des centres de calcul et de tirage pour leur aide précieuse.

Nous avons été sensibles à l'intérêt que Messieurs A. OUSSEDIK, M. BELKACEMI, A. HALIMI ont porté à notre travail. Nous les remercions pour leurs nombreuses suggestions et leurs précieux conseils.

Enfin, que tous ceux qui ont contribué de près ou de loin à l'élaboration de ce modeste travail et à notre formation soient remerciés.

## Table des matières

<b>Introduction</b>	
Origines et variétés des données	..... 1
 <b>I. Généralités</b>	
1. La collecte des données	..... 2
2. Principe de traitement numérique des images spatiales	..... 4
- Classification supervisée	..... 5
- Classification non supervisée	..... 5
 <b>II-</b>	
Introduction	..... 6
1. Position du problème	..... 6
2. Plan de développement de nos recherches	..... 7
 <b>III. Spatialisation</b>	
1. Méthode des histogrammes	..... 9
1.1 Normalisation	..... 9
1.2 Histogrammes	..... 9
1.3 Découpage des histogrammes	..... 9
1.4 Visualisation	..... 9
2. Méthode basée sur le choix des heures de la journée	..... 26
Application du modèle MEFOP	..... 31
 <b>IV-</b>	
Introduction	..... 34
1. Région d'étude	..... 34
2. Choix du paramètre météorologique	..... 34
3. Présentation de nos données	..... 34
- Températures horaires	..... 34
- Températures journalières	..... 34
- Températures mensuelles	..... 34

4. Élément de calcul: méthode de régression .....	36
5. Première approche du regroupement des stations .....	36
Critères portant sur le choix d'une station de référence .....	37
6. Deuxième approche .....	43
a- Méthode de superposition .....	43
. Influence de l'altitude .....	43
. Influence de la distance à la mer .....	44
b- Deuxième méthode .....	49
Élément de calcul .....	49
. Équation de régression- plan de régression .....	49
. Calcul des coefficients .....	50

## CONCLUSION GÉNÉRALE

## BIBLIOGRAPHIE

## INTRODUCTION

Depuis l'antiquité l'homme a cherché à avoir une vue globale de la planète sur laquelle il vit et à la représenter.

Cette préoccupation était vitale pour contrecarrer les attaques ennemis. L'avènement des progrès techniques a permis d'avoir cette vue dominante. Le ballon est devenu moyen d'observation, rapidement remplacé par l'avion, puis par le satellite pour accroître les capacités d'observation.

L'homme a tout d'abord utilisé ces techniques spatiales à des fins militaires, mais il a vite compris que son sort était étroitement lié à celui de la terre: ce qui a accéléré l'emploi de la télédétection à des fins civiles, lui permettant ainsi de mieux connaître sa planète afin de mieux la protéger et mieux utiliser ses richesses.

On entend par télédétection un ensemble de techniques mises en oeuvre à partir d'avions, de ballons, de satellites, et qui ont pour but d'étudier la surface de la terre , en utilisant les propriétés des ondes électromagnétiques, émises, réfléchies ou diffractées par les différents corps observés.

### Origines et variétés des données

L'étude que nous nous proposons de faire porte sur les données de la télédétection enregistrées durant la période allant du premier (1er) juin 1979 au dix-huit (18) juin de la même année, au cours du passage du satellite Météosat sur la région du Sahel malien (nord-ouest du Niger).

L'ensemble des données Météosat, obtenues par ESOC ( European Space Operations Centre ), a compris principalement les images suivantes par jour:

Météosat	Longueur d'onde
<u>Canal</u>	<u>Bandes</u>
Visible	0.4 ---- 1.1 um
Vapeur d'eau	5.7 ---- 7.1 um
Infrarouge	10.5 ---- 12.5 um

Les données météorologiques ont été obtenues par le service météorologique de la ville de Bamako (capitale du Mali).



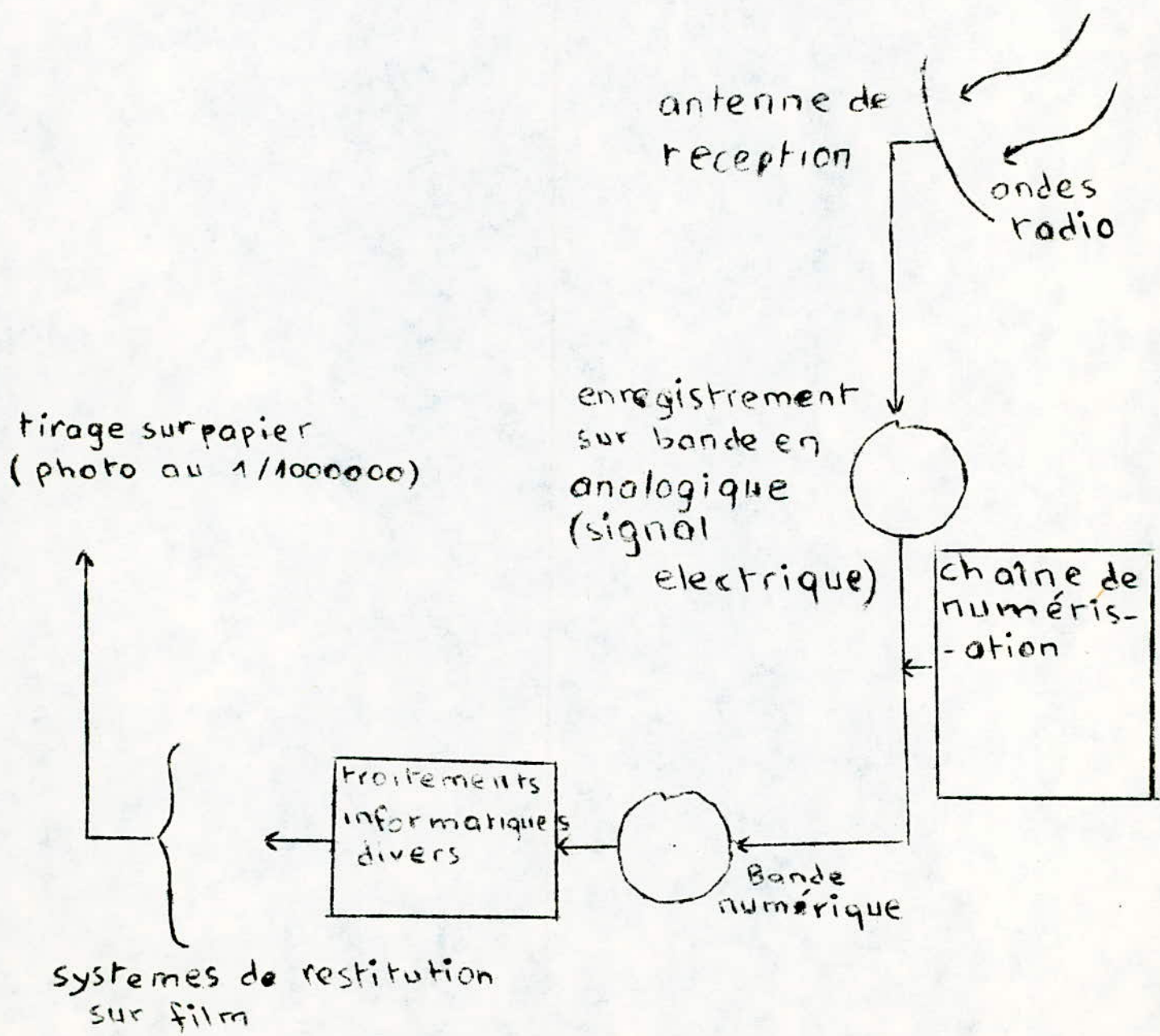
CHAPITRE IGENERALITES1 La collecte des données

Plus d'un siècle s'est écoulé depuis l'invention de la photographie aérienne par Félix - Tournachon et nous sommes maintenant dans l'ère des satellites artificiels, qui peuvent prendre quotidiennement des images de la terre.

Le document de télédétection spatiale le plus connu et le plus utilisé par les chercheurs est en général la restitution photographique de l'image de satellite au 1/1. 000. 000.

Il convient de savoir que ce document lui-même résulte déjà d'un traitement informatique.

Le schéma suivant montre le cheminement de l'information depuis la collecte jusqu'à l'image au 1/1. 000. 000.



Après réception par l'antenne, le signal est enregistré sur bande analogique. Un traitement assez complexe appelé chaîne de numérisation permet ensuite d'obtenir une bande numérique où chaque point de l'image (correspondant numériquement au grain d'une photographie classique) est repéré par un nombre représentant le niveau lumineux du point visé calculé par correction des caractéristiques des capteurs.

être

La bande numérique peut alors être traitée par ordinateur, et un système de restitution sur film permet de sortir les photographies.

Ces images satellites contiennent plus d'informations que les images photographiques classiques, qui sont exploitées en photo-interprétation visuelle et sont généralement confrontées à d'autres documents cartographiques et aux observations de terrains.

Après quelques études, les chercheurs se sont aperçus que pour exploiter au maximum ces données brutes, il faudrait pouvoir choisir dans un stock, les images représentatives des principales phases d'évolution du système naturel (différentes saisons, différents stades d'évolution d'une culture).

Ces photographies aériennes peuvent être exploitées à l'œil nu ou bien sous des appareils optiques simples, sans qu'il soit nécessaire que les restitutions présentent des qualités géométriques ou radiométriques exceptionnelles.

Dans la plupart des cas, on peut se contenter d'un pouvoir de résolution à l'échelle de la parcelle, avec un champ d'observation étendu et couvrant au minimum la petite unité naturelle (vallée, massif montagneux...).

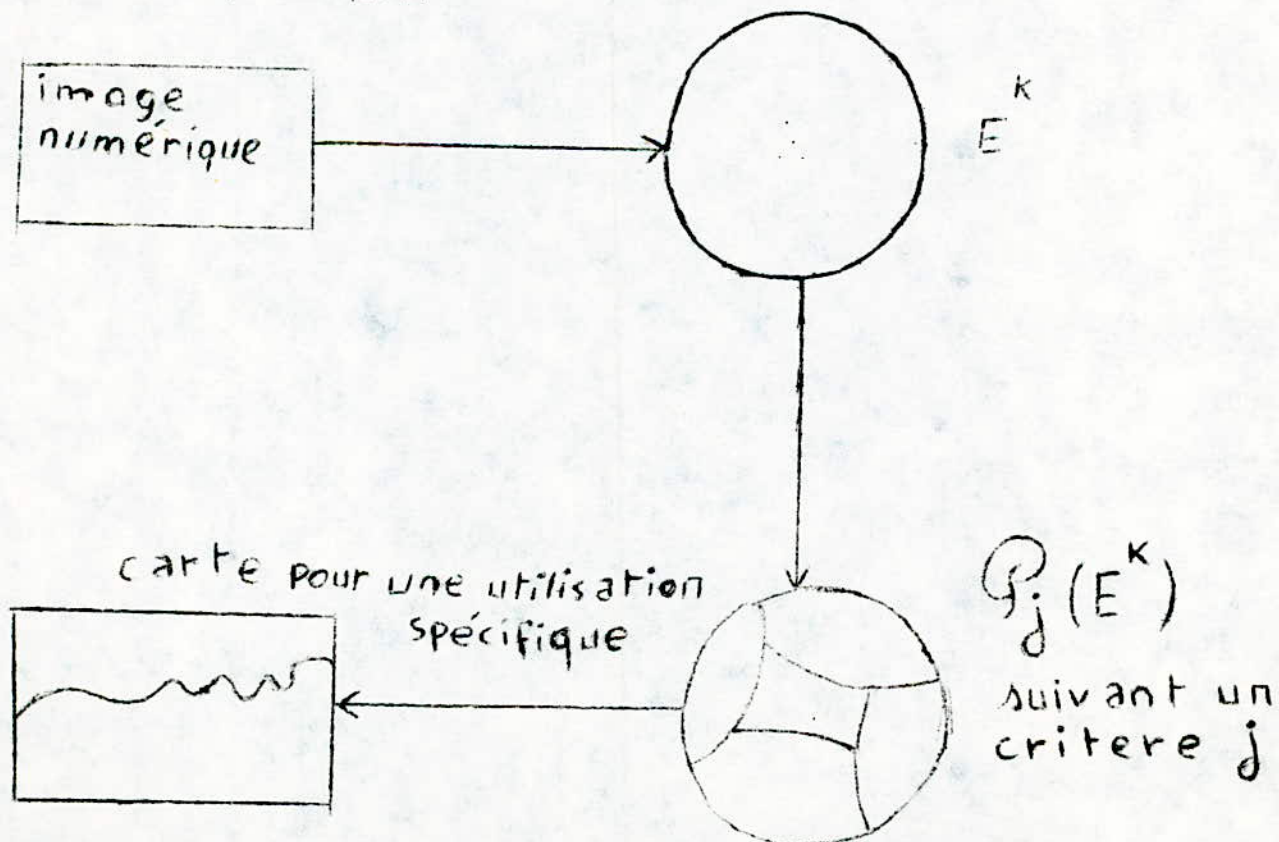
Ainsi, les photographies aériennes et spatiales ont été utilisées comme éléments de reconnaissance sur le milieu naturel.

## 2 .Principe du traitement numérique des images spatiales

Depuis quelques années, une nouvelle approche commence à se dégager. Dans cette approche, l'imagerie satellite de ressources terrestres a été considérée comme un ensemble sans dimension. Les différents traitements effectués sur l'image visent à déterminer une partition optimum de l'ensemble image pour faire apparaître des zones homogènes ou classes. Tous ces traitements tiennent peu ou pas du tout compte de la signification physique intrinsèque du signal enregistré par les capteurs.

C'est ainsi que l'on considère une image monospectrale canal (i) par exemple comme une série de nombres variant dans la plage ( $n_1, n_2$ ) , l'interprète pourra dire, grâce à son expérience (ou avec l'aide du physicien) , que tel type d'objet apparaîtra sombre ou clair dans ce canal; mais l'on ne saura pas préciser ce que contient le nombre  $N$  de ( $n_1, n_2$ ) comme information quantitative du point imagé.

Une fois l'interprétation des objets homogènes identifiés faite, des cartographies sont érigées pour des utilisations spécifiques.



Les techniques de classification sont nombreuses. On peut les classer en deux groupes principaux:

- Classification supervisée: lorsque on possède des vérités terrestres. Cette classification se base sur deux hypothèses:

- a- Hypothèses statistiques
- b- Hypothèses géométriques

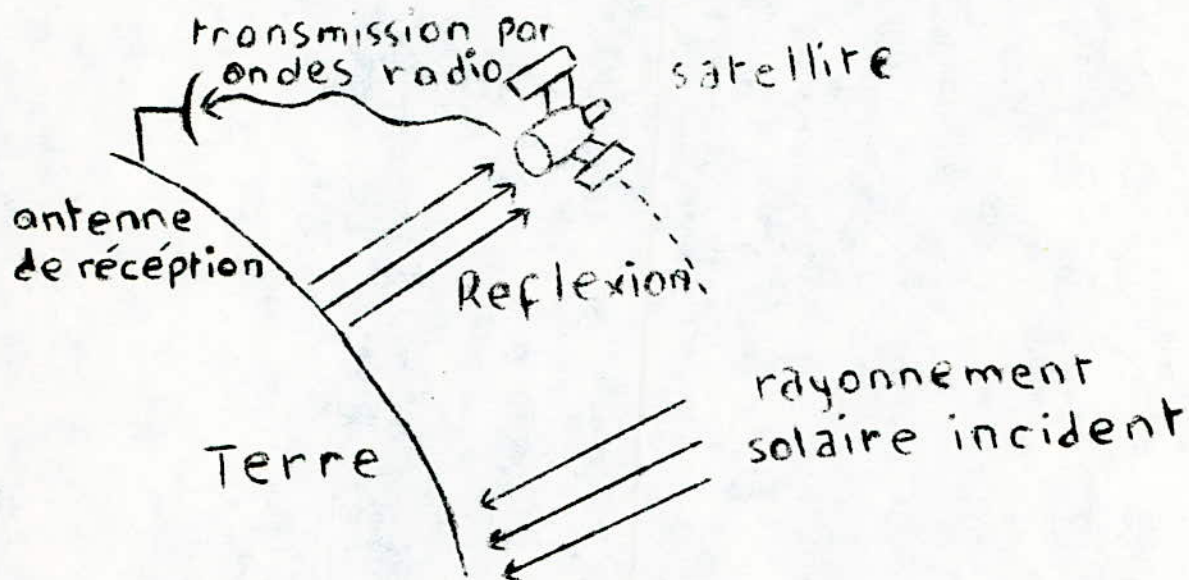
- Classification non supervisée: contrairement à la classification supervisée, elle n'utilise pas de vérités terrestres, car, le plus souvent, il n'est pas possible d'extraire des échantillons de la région à étudier.

CHAPITRE IIIntroduction

L'énergie qui produit et entretient les phénomènes observés dans l'atmosphère et à la surface de la terre provient du soleil.

La terre répond à cette excitation de deux façons très liées :

- En modifiant sa température de surface  $T_s$  et ses échanges d'énergie et de masse avec l'atmosphère.
- En émettant et en diffusant un rayonnement électro-magnétique dont les caractéristiques sont fonction du sol.

1. Position du problème

La question que l'on se pose actuellement peut se formuler de la façon suivante ; Peut-on, à partir des données satellites éventuellement combinées à des données sol, extraire des propriétés physiques significatives de la surface observée ?

La réponse est actuellement oui, mais en résolvant certains problèmes qui restent en suspens. Notre projet rentre dans le cadre de la résolution de certains de ces problèmes.

## 2. Plan de développement de nos recherches

Pour réaliser l'objectif précédemment cité, on procèdera par étapes.

1- Dans une première étape, il s'agit d'extraire de l'image numérique Météosat deux paramètres qui sont la température de surface  $T_s$  et le rayonnement net  $R_n$ .

2- Dans une seconde étape, il faudrait sortir un fichier homogène  $T_s$ ,  $R_n$  et les données météorologiques  $E_a$ ,  $u_a$ ,  $T_a$ .

$E_a$  = humidité de l'air

$u_a$  = vitesse du vent

$T_a$  = température de l'air

On applique ensuite à ces données un modèle physique-mathématique (code MEFOP) pour extraire trois paramètres moyens journaliers :

- L'inertie thermique  $P$
- Le flux de chaleur sensible  $H(t)$
- Le flux de chaleur latente  $LE(t)$

### Paramètres d'entrée

- 1- Rayonnement net  $R_n$  et température de surface  $T_s$  à partir d'image satellite.
- 2- Température de l'air ( $T_a$ ), vitesse du vent ( $u_a$ ) et humidité de l'air ( $E_a$ ) à partir de mesures in situ.

### Paramètres de sortie

- 1- Courbes de variation au cours de la journée :
  - Flux de chaleur latente  $LE(t)$
  - Flux de chaleur sensible  $H(t)$
- 2- Valeur moyenne sur la journée: inertie thermique du pixel.

On génère ensuite l'évolution pendant un cycle de 24 h. des flux  $H(t)$  et  $LE(t)$ .

Il convient de noter que tous ces calculs sont relatifs à un pixel. On peut faire deux remarques :

a- Refaire ce processus de calcul pour tous les points de l'image (13.17 pixels Météosat) est très coûteux en temps de calcul.

b- Sur la région concernée (environ 65 km sur 85 km), on ne dispose que de quelques stations de mesures au sol, aléatoirement dispersées: le modèle MEFOPI ne pourrait être appliqué pour les points où l'on dispose uniquement de données satellite.

+ La première remarque nous amène à étudier dans le chapitre III le problème de la spatialisation qui consiste à mettre au point un algorithme permettant de déterminer des points représentatifs de classes de l'image afin de leur appliquer le code MEFOPI et généraliser aux autres points de l'image.

+ La deuxième remarque pose le problème de l'interpolation : il s'agira , à partir de cas particuliers (stations de référence) de trouver une loi fonctionnelle valable pour toutes les autres stations et leurs zones avoisinantes. Cette partie sera traitée dans le chapitre IV.

## CHAPITRE III

### SPATIALISATION

Nous présentons dans ce chapitre deux techniques de classification, l'une basée sur l'histogramme, l'autre sur le choix des heures de la journée à prendre en considération. Dans cette deuxième méthode, le travail porte sur les données brutes.

#### 1. Méthode des histogrammes

##### 1.1 Normalisation

C'est l'opération qui consiste à coder les données entre deux limites fixées au départ. Elle nous permet la réduction de l'échelle. Ce codage et cette compression de l'échelle sont réalisés à l'aide du programme "normalisation".

##### 1.2 Histogrammes

Lorsque les informations relatives à un caractère (ici paramètre) se présentent sans ordre et sont très nombreuses, un moyen de rendre ces informations plus "parlantes" et de tracer l'histogramme qui nous permettra de mettre en évidence les fréquences absolues de chaque classe.

##### 1.3 Découpage des histogrammes

Pour constituer la série statistique, nous allons concentrer les nombres normalisés dans des classes. Le choix de l'intervalle des classes est un choix individuel qui pourrait être suivi par l'allure de l'histogramme, c'est-à-dire par le phénomène étudié.

##### 1.4 Visualisation

Elle consiste à affecter un symbole à chaque classe. Une telle visualisation est réalisée par le programme "image". Celui-ci permet de faire sortir des scènes correspondant à la température  $T_s$  pour des heures et des journées choisies.

Remarque-1é

L'image initiale ne pourrait être exploitable, vu ses dimensions réduites.(17. 13), on a été amené à faire un agrandissement de cette dernière.

Cette opération est réalisée par le programme "agrandissement".

Remarque -2-

Nous avons choisi la journée du 1er juin parce qu'elle a été claire (sans nuages) et donc l'enregistrement des données satellite a été fait correctement.

PROGRAMMES - RESULTATS

On présentera quatre histogrammes relatifs à la douzième, treizième, quatorzième et quinzième (12 ème, 13 ème, 14 ème et 15 ème) heures de la première journée.

Le découpage de ces histogrammes se fait à chaque fois comme suit :

classe n° 1	entre 0 - 16
classe n° 2	entre 16 - 32
classe n° 3	entre 32 - 48
classe n° 4	entre 48- 64



```

13  MIN=TETX(KK,MM)
14  IF (MAX=IPIX(KK,MM)) 115,16,16
15  MAX=IPTX(KK,MM)
16  CONTINUE
17  CONTINUE
    PRINT 8000,AMIN,AMAX,MTN,MAX
    PRINT 4001
    PRINT 4000,JR,F
    PRINT 5000
    PRINT 8000,((IPIX(I,J),J=1,17),I=1,17)
C*****CALCUL DE LA FREQUENCE DE
C CHAQUE TERMES
C*****
18  MIN=M1E+1
    MAX=MAX+1
    DO 19 I=MIN,MAX
    LDENS(I)=0
    DO21KK=1,17
    DO20MM=1,17
    IF (IPIX(KK,MM).EQ.888) GOTO 20
    D019J=MIN,MAX
    IF (IPIX(KK,MM).EQ.(J-1)) LDENS(I)=LDENS(I)+1
19  CONTINUE
20  CONTINUE
21  CONTINUE
    MTN=M1E-1
    MAX=MAX-1
    PRINT 10000,I,MTN,MAX
    PRINT 11000
    PRINT 12000
    PRINT 13000
    PRINT 17001,JR,F
    PRINT 12000
    PRINT 14000
    PRINT 15000
    M1E=M1E+1
    MAX=MAX+1
    DO25J=MIN,MAX
    DO22I=1,100
    LIR(I)=IPLAIC
    LIA(I)=IPLAIC
    L1G(I)=IPLAIC
22  L=LDENS(J)*5
    IF (L.EC.0) GOTO 24
    DO23I=1,L
    LIA(I)=J7
    LIR(I)=IDIFSF
    L1G(I)=IH
23  PRINT 16000,J,LDENS(J),(LTG(L),I=1,100)
    PRINT 16001,(LIA(I),I=1,100)
    PRINT 16001,(LIR(I),I=1,100)
24  CONTINUE
    PRINT 15000
    PRINT 17000
    STOP
1000  FORMAT(2T2)
2000  FORMAT(24FP.2)
3000  FORMAT(1X,/)
4000  FORMAT(1E+,49X,T2,12X,T2)

```

```
4001 FORMAT(30X,'PARAMETRE TS','JOUR=:',8X,'HEURE=:',8X)
5000 FORMAT(29X,44(1H*))/
6000 FORMAT(6X,'APIX=:',/,17(6X,13(F6.2;3X)/),///)
8000 FORMAT(6X,'AMIN=:',F8.2,/,6X,'AMAX=:',F8.2,/,
$6X,'MIN=:',I3,/,6X,'MAX=:',I3,///)
9000 FORMAT(6X,'IPIX=:',/,17(6X,13(I3,4X)/),///)
10000 FORMAT(23X,'LE NIVEAU DE GRIS MINIMUM EST:',I3,3X,
*'LE NIVEAU DE GRIS MAXIMUM EST:',I3,///)
11000 FORMAT(50X,'HISTOGRAMME DES FREQUENCES')
12000 FORMAT(49X,28(1H-),///)
13000 FORMAT(50X,'5H REPRESENTE 1 VALEUR')
13001 FORMAT(50X,/,50X,'JOUR=:',I2,11X,'HEURE=:',I2)
14000 FORMAT(5X,'NIVEAU',3X,'FREQUENCE')
15000 FORMAT(24X,103(1H-))
16000 FORMAT(5X,I4,4X,I5,6X,1H+,1X,100A1,1H)
16001 FORMAT(1H+,25X,100A1)
17000 FORMAT(1X,///)
20000 FORMAT(I2)
END
```

1. LANGUAGE USE = 1      2. HABIT = 12

\*\*\*\*\*

AMT IN: 311.00

ANAXE: 341.09

KINDS

MAX = 64

CAPACITÉ TSJOLF= 1 FFUPE= 1

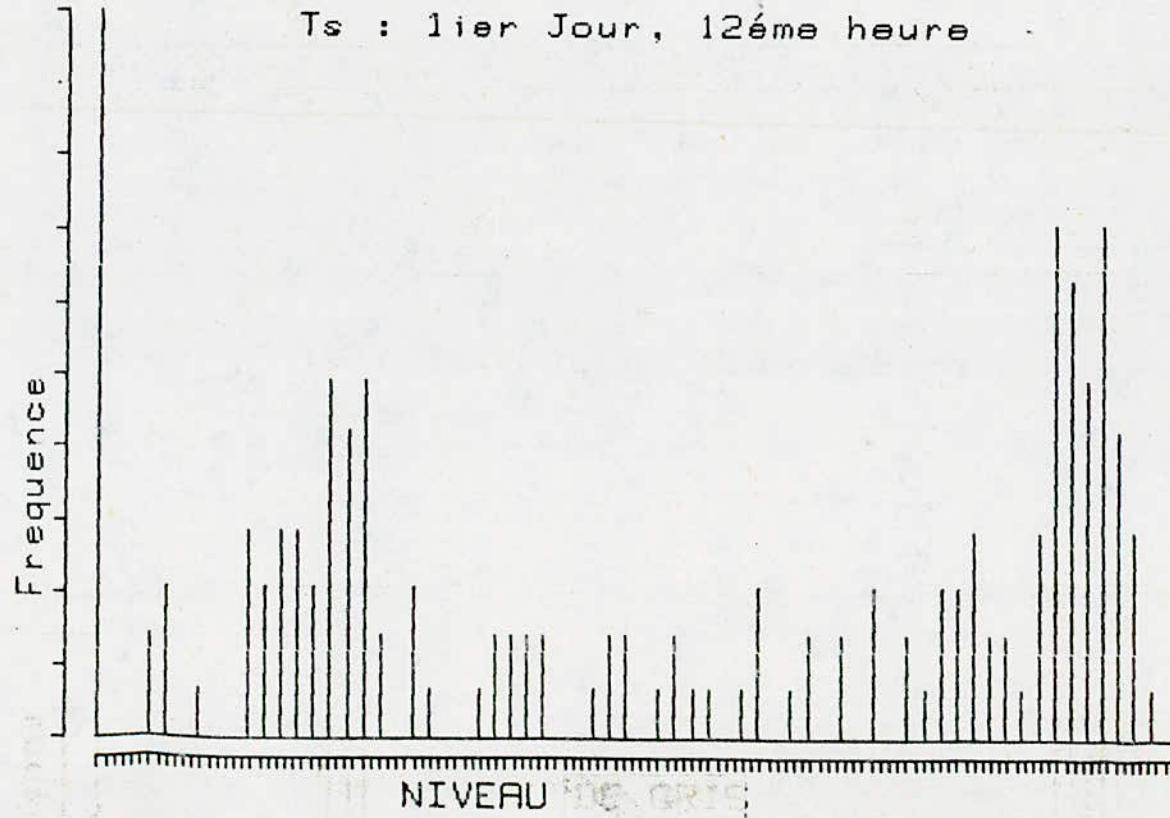
\*\*\*\*\*

TETRA

57	59	59	59	59	59	59	61	59	61	59	53	40
57	59	61	59	61	61	61	59	57	55	57	40	25
59	59	61	61	60	64	59	57	55	51	44	26	32
61	61	61	64	60	59	57	55	51	46	40	26	32
64	61	61	64	61	57	53	49	46	40	34	22	25
61	64	61	59	55	53	51	44	38	32	27	25	21
59	61	59	64	52	51	46	40	32	27	22	19	10
57	61	59	53	51	49	42	36	27	25	19	10	6
52	**	**	**	**	**	**	27	**	19	10	4	2
**	**	**	**	**	**	**	**	**	**	6	4	0
**	**	**	**	**	**	**	**	**	12	4	2	
**	**	**	**	**	**	**	**	12	14	10	4	10
**	**	**	**	**	**	**	**	17	12	10	10	17
**	**	**	**	**	**	**	17	14	14	17	17	17
**	**	**	**	**	**	**	17	14	17	10	14	17
**	**	**	**	**	**	12	14	17	14	10	17	10
**	**	**	**	**	12	14	17	14	12	14	12	17

## VECTEUR DE FREQUENCE

Ts : 1ier Jour, 12ème heure



"FAIRE ETRE TSJOLEE = 1 EELUE = 1"

API X-

AMIN = : 314, 00

ANAX = : 345.00

NTA-10

MAX = : 64

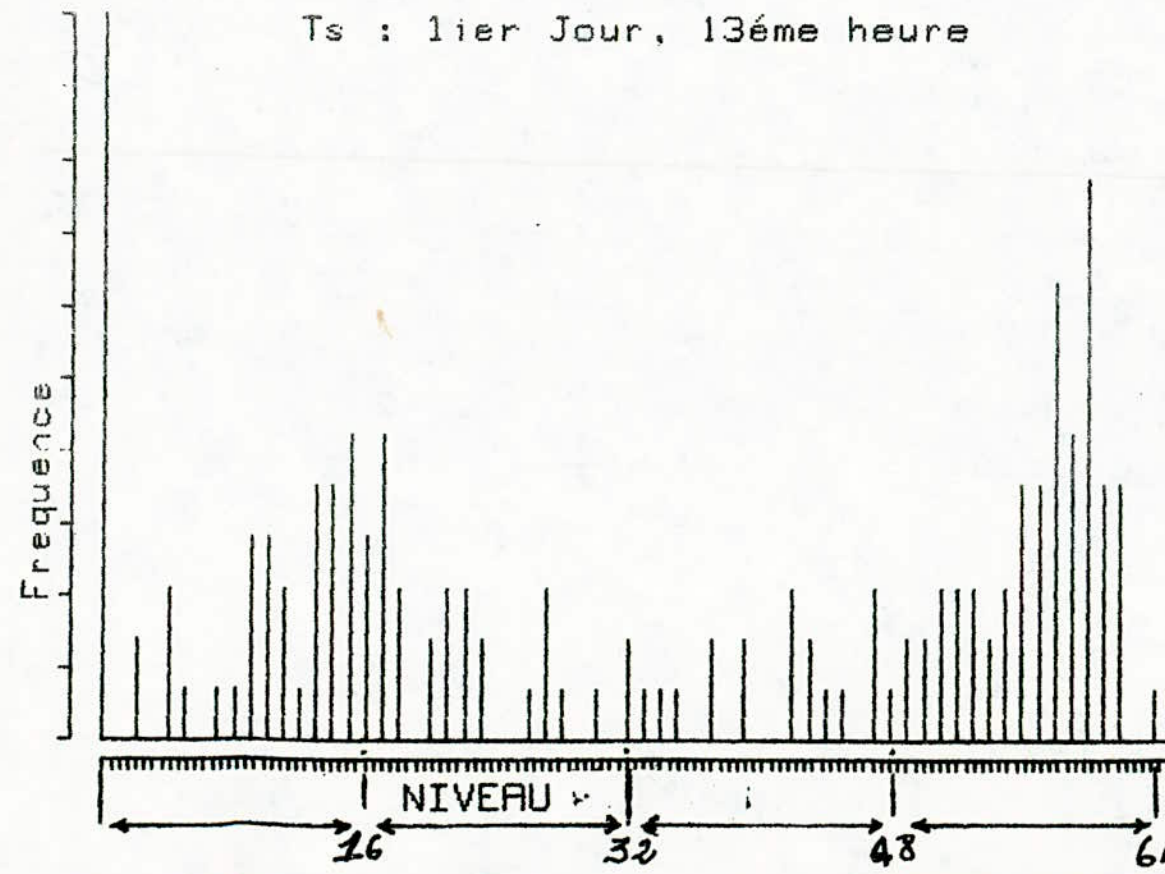
PARAMETRE TSJOUR= 1 HEURE= 1

IP1X=

59	59	59	59	59	59	59	59	57	59	57	53	43
59	61	61	61	61	61	61	61	57	57	57	51	29
57	61	61	61	61	61	61	57	55	53	49	33	28
61	61	61	61	61	61	57	55	53	51	45	37	24
64	64	61	61	59	57	57	49	43	37	30	26	20
64	61	61	55	57	51	47	43	39	28	24	20	16
57	59	55	53	51	47	45	37	28	22	20	18	8
55	57	55	49	47	43	39	23	21	22	18	8	0
51	**	**	**	**	**	**	22	**	18	10	2	0
**	**	**	**	**	**	**	*★	**	**	6	0	0
**	**	**	**	**	**	**	**	**	**	10	4	0
**	**	**	**	**	**	**	**	10	14	10	4	12
**	**	**	**	**	**	**	**	14	12	10	12	18
**	**	**	**	**	**	**	**	14	14	18	16	18
**	**	**	**	**	**	**	10	14	16	16	16	18
**	**	**	**	**	**	10	12	14	14	16	18	20
**	**	**	**	**	10	12	14	16	18	14	14	14

## VECTEUR DE FREQUENCE

Ts : 1ier Jour, 13éme heure



FARANFRE TSJOLFE= 1 HFIREF= 14  
 \*\*\*\*\*

IPIX=

344.00	344.00	344.00	342.00	343.00	342.00	341.00	341.00	340.00	340.00	341.00	341.00	339.00	335.00
343.00	344.00	344.00	344.00	343.00	341.00	340.00	340.00	340.00	340.00	339.00	334.00	326.00	
341.00	344.00	345.00	342.00	340.00	340.00	340.00	339.00	329.00	337.00	334.00	330.00	327.00	
344.00	344.00	343.00	342.00	341.00	339.00	329.00	328.00	328.00	335.00	332.00	329.00	327.00	
345.00	344.00	343.00	342.00	340.00	340.00	329.00	327.00	324.00	331.00	328.00	326.00	324.00	
345.00	344.00	342.00	328.00	328.00	326.00	324.00	320.00	327.00	324.00	324.00	322.00		
340.00	340.00	327.00	328.00	327.00	335.00	324.00	320.00	326.00	323.00	323.00	322.00	319.00	
329.00	337.00	327.00	326.00	324.00	331.00	321.00	328.00	324.00	324.00	324.00	320.00	319.00	
327.00	.00	.00	.00	.00	.00	.00	324.00	.00	324.00	321.00	318.00	318.00	
.00	.00	.00	.00	.00	.00	.00	.00	.00	320.00	319.00	317.00		
.00	.00	.00	.00	.00	.00	.00	.00	.00	322.00	319.00	317.00		
.00	.00	.00	.00	.00	.00	.00	.00	321.00	323.00	321.00	319.00	323.00	
.00	.00	.00	.00	.00	.00	.00	.00	323.00	322.00	321.00	322.00	325.00	
.00	.00	.00	.00	.00	.00	.00	.00	322.00	323.00	323.00	325.00	324.00	
.00	.00	.00	.00	.00	.00	.00	.00	323.00	323.00	325.00	324.00	325.00	
.00	.00	.00	.00	.00	.00	.00	.00	321.00	322.00	322.00	324.00	324.00	
.00	.00	.00	.00	.00	.00	.00	.00	321.00	322.00	324.00	323.00	325.00	
.00	.00	.00	.00	.00	.00	.00	.00	321.00	321.00	322.00	323.00	326.00	
.00	.00	.00	.00	.00	.00	.00	.00	321.00	321.00	322.00	323.00	324.00	

AMIN= 317.00

AMAX= 345.00

NTIN= 0

MAX= 64

FARANFRE TSJOLFE= 1 HFIREF= 14  
 \*\*\*\*\*

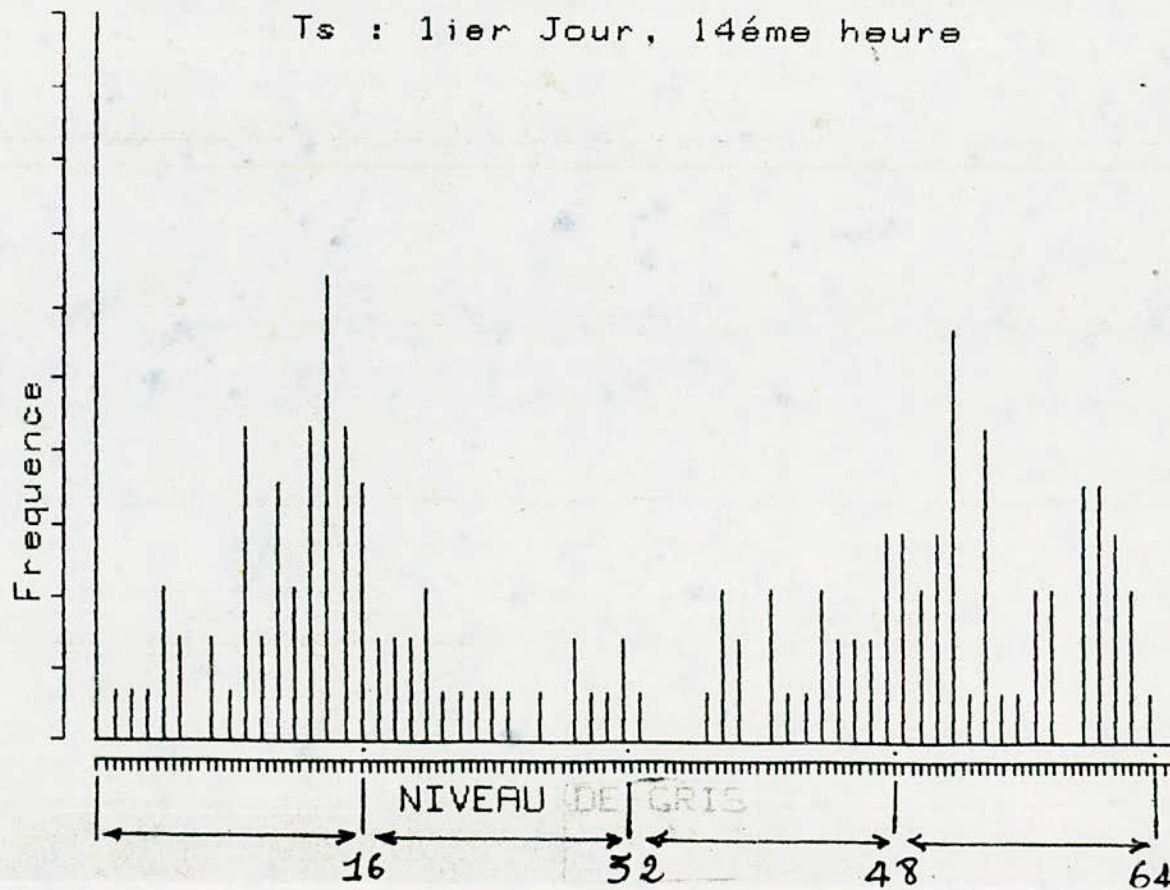
IPIX=

61	61	61	59	59	57	58	58	52	54	54	50	41
59	61	61	61	59	54	52	52	52	50	28	20	
58	61	64	54	52	52	52	50	50	45	38	29	22
61	61	58	57	54	50	50	48	48	41	34	27	22
64	61	59	57	52	52	50	45	38	22	25	20	14
64	61	57	48	48	48	47	28	29	22	16	16	11
52	52	45	48	48	48	47	28	29	13	13	13	4
50	45	45	43	38	32	32	25	16	16	16	6	4
45	**	**	**	**	**	**	16	**	16	0	2	2
**	**	**	**	**	**	**	**	**	**	6	4	0
**	**	**	**	**	**	**	**	**	**	11	4	0
**	**	**	**	**	**	**	**	**	13	0	4	12
**	**	**	**	**	**	**	**	12	11	0	11	18
**	**	**	**	**	**	**	13	12	13	1P	16	1P
**	**	**	**	**	**	**	13	12	13	1P	16	1P
**	**	**	**	**	**	**	9	11	16	16	16	16
**	**	**	**	**	**	**	c	11	16	13	18	20
**	**	**	**	**	**	**	c	11	12	11	13	16

## VECTEUR DE FREQUENCE

15

Ts : 1ier Jour, 14ème heure



PARAMETRE TSIJOURF 1 - HEUREE 1E

---

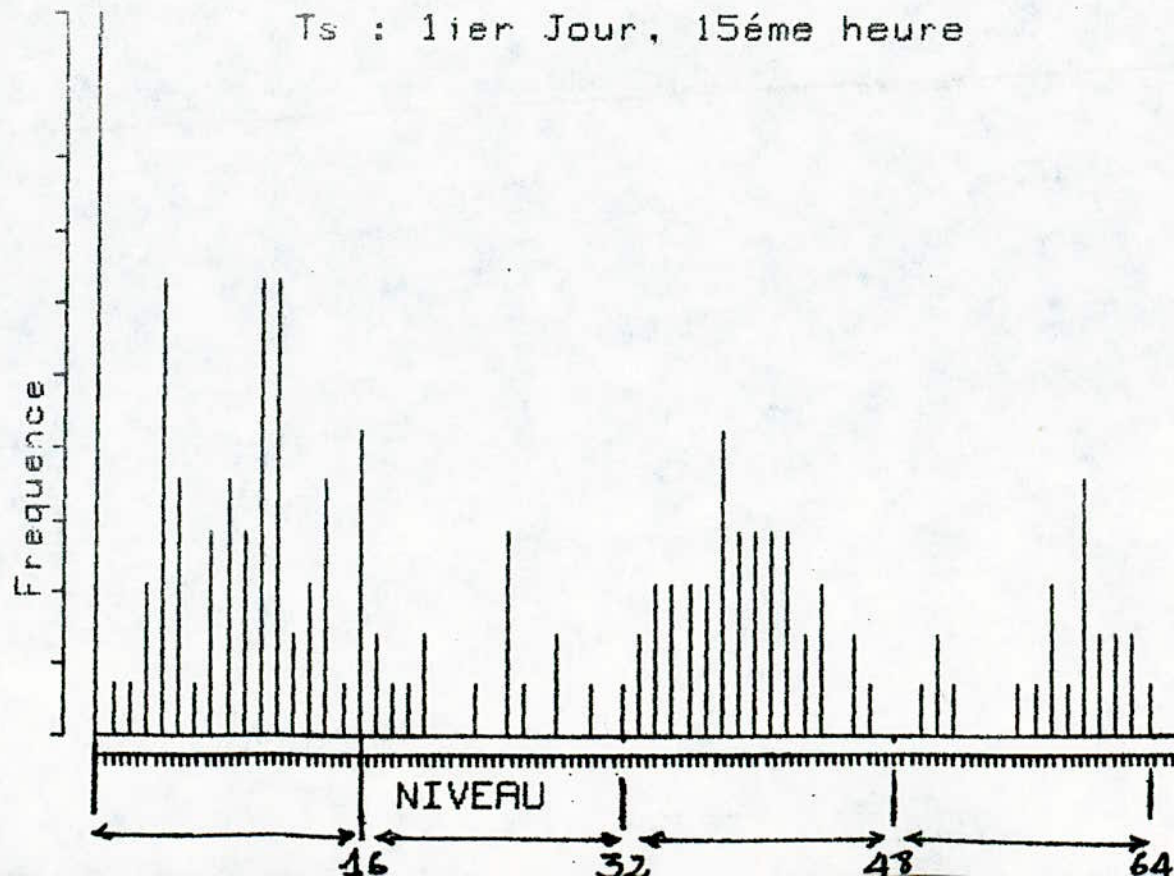
AMIN= 320.00  
AMAX= 342.00  
MTN= 0  
MAX= 64

PARAISIR TSJOUR= 1 HEURE= 15

IPI Y=	64	61	61	58	59	49	42	80	40	43	82	80	77
	61	64	61	58	52	43	37	27	40	40	40	42	34
	46	61	64	55	37	34	40	40	40	27	32	26	14
	61	58	52	43	37	24	37	27	40	34	22	17	11
	61	61	49	46	38	40	40	24	20	20	14	8	2
	61	55	46	32	37	37	34	29	17	8	2	2	0
	34	24	22	37	34	29	23	17	5	0	2	5	2
	37	20	26	26	17	11	17	8	2	8	14	5	5
	32	**	**	**	**	**	**	2	**	14	8	2	2
	**	**	**	**	**	**	**	**	**	**	5	2	0
	**	**	**	**	**	**	**	**	**	**	11	2	0
	**	**	**	**	**	**	**	**	8	11	8	5	11
	**	**	**	**	**	**	**	**	11	8	8	8	10
	**	**	**	**	**	**	**	11	11	11	17	14	10
	**	**	**	**	**	**	**	5	8	11	11	11	17
	**	**	**	**	**	**	5	5	11	8	8	14	17
	**	**	**	**	**	2	2	8	8	5	8	8	8

## VECTEUR DE FREQUENCE

Ts : 1ier Jour, 15éme heure



Ces découpages nous donnent les images suivantes.

Interprétation de ces images : On remarque que les classes sont instables, et par conséquent la méthode utilisée n'a pas abouti aux résultats escomptés.



```

25   MA(J)=IDIESE
      MB(J)=IZ
      MC(J)=IM
      GOTO 28
26   MA(J)=TPOINT
      GOTO 28
27   MA(J)=TSLACH
      GOTO 28
30   MA(J)=TASTER
      CONTINUE
      PRINT 1003,I,(MA(J),J=1,39)
      PRINT 1004,(MB(J),J=1,39)
      PRINT 1004,(MC(J),J=1,39)
29   CONTINUE
      PRINT 1005
      PRINT1008
      PRINT1009
      PRINT1012,IA
      PRINT1013,IB
      PRINT1014,LC
      PRINT1015,LD
      PRINT1020
      STOP
1000 FORMAT(2I2)
101  FORMAT(4I2)
3000 FORMAT(1H1)
4001 FORMAT(30X,'PARAMETRE TS','JOUR=',8X,'HEURE=',8X)
4000 FORMAT(1H+,49X,I2,12X,I2)
5000 FORMAT(29X,44(1H*))/
6000 FORMAT(6X,'APIX=',//,17(6X,13(F6.2,1X)//))
8000 FORMAT(6X,'AMIN=:',F8.2//,6X,'AMAX=:',F8.2//,
$6X,'MIN=:',I3,//,6X,'MAX=:',I3,///)
9000 FORMAT(6X,'IPIX=',//,17(6X,13(I2,5X)//)//)
1003 FORMAT(10X,I3,1HT,39A1,1FI)
1004 FORMAT(1H+,13X,39A1)
1005 FORMAT(13X,41(1H-))
1008 FORMAT(15X,'LEGENDE:')
1009 FORMAT(15X,8(1H*))
1012 FORMAT(24X,'CLASSE N 1',4X,'TPTX.LE',:,T2)
1013 FORMAT(24X,'CLASSE N 2',4X,'TPTX.LE',:,T2)
1014 FORMAT(24X,'CLASSE N 3',4X,'TPTX.LE',:,T2)
1015 FORMAT(24X,'CLASSE N 4',4X,'TPTX.LE',:,T2)
1020 FORMAT(24X,'BLANC=CLASSE DES ZEROS')
2000 FORMAT(24F8.2)
20000 FORMAT(I2)
END

```

## PARAMETRE TSJOLFE 1 FFIRFE 12

\*\*\*\*\*

-----  
 1T\*\*\*\*\*  
 2T\*\*\*\*\*  
 3T\*\*\*\*\*  
 4T\*\*\*\*\*  
 5T\*\*\*\*\*  
 6T\*\*\*\*\*  
 7T\*\*\*\*\*  
 8T\*\*\*\*\*  
 9T\*\*\*\*\*  
 10T\*\*\*\*\*  
 11T\*\*\*\*\*  
 12T\*\*\*\*\*  
 13T\*\*\*\*\*  
 14T\*\*\*\*\*  
 15T\*\*\*\*\*  
 16T\*\*\*\*\*  
 17T\*\*\*\*\*  
 18T\*\*\*\*\*  
 19T\*\*\*\*\*  
 20T\*\*\*\*\*  
 21T\*\*\*\*\*  
 22T\*\*\*\*\*  
 23T\*\*\*\*\*  
 24T\*\*\*\*\*  
 25T\*\*\*  
 26T\*\*\*  
 27T\*\*\*  
 28T  
 29T  
 30T  
 31T  
 32T  
 33T  
 34T  
 35T  
 36T  
 37T  
 38T  
 39T  
 40T  
 41T  
 42T  
 43T  
 44T  
 45T  
 46T  
 47T  
 48T  
 49T  
 50T  
 51T  
 -----

## LEGENDER

\*\*\*\*\*

CLASSE N 1	IPIX.LE.16
CLASSE N 2	IPIX.LE.32
CLASSE N 3	IPIX.LE.48
CLASSE N 4	IPIX.LE.64
BLANC=CLASSE DES ZEROS	

FAIRE ETRE TS JOLIE = 1 HELP = 13

\* \* \* \* \*

1T\*\*\*\*\*  
2T\*\*\*\*\*  
3T\*\*\*\*\*  
4T\*\*\*\*\*  
5T\*\*\*\*\*  
6T\*\*\*\*\*  
7T\*\*\*\*\*  
  
8T\*\*\*\*\*  
9T\*\*\*\*\*  
10T\*\*\*\*\*  
11T\*\*\*\*\*  
12T\*\*\*\*\*  
13T\*\*\*\*\*  
14T\*\*\*\*\*  
15T\*\*\*\*\*  
16T\*\*\*\*\*  
17T\*\*\*\*\*  
18T\*\*\*\*\*  
19T\*\*\*\*\*  
20T\*\*\*\*\*  
21T\*\*\*\*\*  
22T\*\*\*\*\*  
23T\*\*\*\*\*  
24T\*\*\*\*\*  
25T\*\*\*  
26T\*\*\*  
27T\*\*\*  
28T  
29T  
30T  
31T  
32T  
33T  
34T  
35T  
36T  
37T  
38T  
39T  
40T  
41T  
42T  
43T  
44T  
45T  
46T  
47T  
48T  
49T  
50T  
51T

**LEGEND:**

★ ★ ★ 大 购 大 ★ ★

CLASSE N 1 IFIX.LE.16  
CLASSE N 2 IFIX.LE.32  
CLASSE N 3 IFIX.LE.48  
CLASSE N 4 IFIX.LE.60  
BLANC CLASSE DES ZEROS

PARAMETRE TSJOUR= 1 HEURE= 18

\*\*\*\*\*

-----  
 1T\*\*\*\*\*  
 2T\*\*\*\*\*  
 3T\*\*\*\*\*  
 4T\*\*\*\*\*  
 5T\*\*\*\*\*  
 6T\*\*\*\*\*  
 7T\*\*\*\*\*  
 8T\*\*\*\*\*  
 9T\*\*\*\*\*  
 10T\*\*\*\*\*  
 11T\*\*\*\*\*  
 12T\*\*\*\*\*  
 13T\*\*\*\*\*  
 14T\*\*\*\*\*  
 15T\*\*\*\*\*  
 16T\*\*\*\*\*  
 17T\*\*\*\*\*  
 18T\*\*\*\*\*  
 19T\*\*\*\*\*  
 20T\*\*\*\*\*  
 21T\*\*\*\*\*  
 22T\*\*\*\*\*  
 23T\*\*\*\*\*  
 24T\*\*\*\*\*  
 25T//  
 26T//  
 27T//  
 28T  
 29T  
 30T  
 31T  
 32T  
 33T  
 34T  
 35T  
 36T  
 37T  
 38T  
 39T  
 40T  
 41T  
 42T  
 43T  
 44T  
 45T  
 46T  
 47T  
 48T  
 49T  
 50T  
 51T

-----

## LEGENCE:

\*\*\*\*\*

CLASSE N 1	IPIX.LE.1F
CLASSE N 2	IPIX.LE.32
CLASSE N 3	IPIX.LE.4P
CLASSE N 0	IPIX.LE.64
CLASSE CLASSE DES ZERCS	

PARAMETRE TSJOUR = 1 HIFREF = 15

\*\*\*\*\* \* \*\*\*\*\* \* \*\*\*\*\* \* \*\*\*\*\* \* \*\*\*\*\* \* \*\*\*\*\* \* \*\*\*\*\* \* \*\*\*\*\*

-----  
 1T\*\*\*\*\*  
 2T\*\*\*\*\*  
 3T\*\*\*\*\*  
 4T\*\*\*\*\*  
 5T\*\*\*\*\*  
 6T\*\*\*\*\*  
 7T//\*\*\*\*\*  
  
 8T//\*\*\*\*\*  
 9T//\*\*\*\*\*  
 10T\*\*\*\*\*  
 11T\*\*\*\*\*  
 12T\*\*\*\*\*  
 13T\*\*\*\*\*  
 14T\*\*\*\*\*  
 15T\*\*\*\*\*  
 16T\*\*\*\*\*  
 17T\*\*\*  
 18T\*\*\*  
 19T//...  
 20T//...  
 21T//...  
 22T//...  
 23T//...  
 24T//...  
 25T...  
 26T...  
 27T...  
 28T  
 29T  
 30T  
 31T  
 32T  
 33T  
 34T  
 35T  
 36T  
 37T  
 38T  
 39T  
 40T  
 41T  
 42T  
 43T  
 44T  
 45T  
 46T  
 47T  
 48T  
 49T  
 50T  
 51T  
 -----

## LEGENDE:

\*\*\*\*\*

CLASSE N 1	IPIX.LE.16
CLASSE N 2	IPIX.LE.32
CLASSE N 3	IPIX.LE.48
CLASSE N 4	IPIX.LE.64
BLANC CLASSE DES ZEROS	

## 2. Méthode basée sur le choix des heures de la journée

Avec cette méthode, on a essayé de voir comment évolue le paramètre  $T_s$  pour les différentes heures de la journée. La remarque suivante a été faite:

. Si on considérait les heures pour lesquelles  $T_s$  est proche du maximum, on pourrait avoir effectivement certaines zones homogènes.

Un programme "image" permet de sortir les images correspondant aux heures suivantes: 12 h, 13 h, 14 h et 15 h.

On constate que les classes se conservent avec, toutefois, de petites fluctuations.

BORNES DES DIFFERENTES CLASSES :

Première journée - Paramètre TS

Heure	LA	LB	LC
12	323.46	336.92	341.62

Heure	LA	LB	LC
13	324.63	337.88	345.82

Heure	LA	LB	LC
14	326.50	337.89	345.83

Heure	LA	LB	LC
15	326.82	335?65	342.25

Heure	LA	LB	LC
16	324.77	333.84	337.54

C RECHERCHE DES ZONES HOMOGENES  
C PROGRAMME DE LECTURE DE BANDE

```
    DEFINE FILE 10=MM(R:192,AN,RW,FI)
    DIMENSION IPIIX(17,13),MAT(153,117)
    DIMENSION V(120),MA(120),MP(120),MC(120)
    REAL A(24),MIR(221),APIX(17,13)
    DATA ISLACH,IPOINT,IEGALE,IASTER/1H/,1H,,1H*,1H*/
    DATA IBLANC,IDIENE,IZ,IX,IT,TM/1H ,1H#,1HZ,1FX,1HI,1HM/
    INTEGER H
    INTEGER V
    READ(105,103) JR,H
    READ(105,101)(LA,LB,LC)
    IF(JR.EQ.01)GOTO9
    JJ=221*(JR-1)
    DO 13 T=1,JJ
    READ(10,104)(A(N),N=1,24)
13   CONTINUE
9     M=1
    DO 14 K=1,221
    READ(10,104)(A(N),N=1,24)
    MIR(K)=A(H)
14   CONTINUE
    DO 15 I1=1,17
    DO 15 I2=1,13
    APIX(I1,I2)=MIR(M)
    M=M+1
15   CONTINUE
    PRINT 3000
    PRINT 4001
    PRINT 4000,JR,H
    PRINT 5000
    PRINT 6000,((APIX(T,J),J=1,13),T=1,17)
    DO 33 KK=1,17
    DO 32 MM=1,13
    IF(APIX(KK,MM))31,30,31
30   IPIIX(KK,MM)=888.00
    GOTO 32
31   IPIIX(KK,MM)=APIX(KK,MM)
32   CONTINUE
33   CONTINUE
    PRINT 7000
    PRINT 9000,((IPIIX(JB,JC),JC=1,13),JB=1,17)
C AGGRANDISSEMENT DE L'IMAGE PAR TROIS
    I=0
    DO 1 JB=1,17
    IK=1
12   I=I+1
    J=0
    J=J+1
    DO 2 JC=1,13
    IJ=1
11   MAT(I,J)=IPIIX(JB,JC)
    IJ=IJ+1
    J=J+1
    IF(IJ.LE.3) GOTO 11
2     CONTINUE
    IK=IK+1
    IF(IK.LE.3) GOTO 12
1     CONTINUE
```

```

PRINT 1000
PRINT 1001, JR, H
PRINT 1002
PRINT 1005
C SORTIES D'IMAGES SUR LISTING
DO 3I=1,51
DO 4 J=1,39
4 V(J)=MAT(I,J)
DO 5 J=1,39
MA(J)=IBLANC
MB(J)=IBLANC
MC(J)=IBLANC
5 CONTINUE
DO 6 J=1,39
IF(V(J).EG.888) GO TO 21
IF(V(J).LE.LA)GO TO 22
IF(V(J).LE.LB)GO TO 23
IF(V(J).LE.LC)GO TO 24
21 MA(J)=IBLANC
GO TO 6
22 MA(J)=IDIESE
MB(J)=TZ
MC(J)=IM
GO TO 6
23 MA(J)=IPPOINT
GO TO 6
24 MA(J)=ISLACH
6 CONTINUE
PRINT 1003,I,(MA(J),J=1,39)
PRINT 1004,(MB(J),J=1,39)
PRINT 1004,(MC(J),J=1,39)
3 CONTINUE
PRINT 1005
PRINT 1008
PRINT 1009
PRINT 1012,LA
PRINT 1013,LB
PRINT 1014,LC
PRINT 1020
PRINT 1021
101 FORMAT(3F6.2)
102 FORMAT(2I2)
104 FORMAT(24F8.2)
3000 FORMAT(1H1)
4001 FORMAT(30X,'PARAMETRE TS', 'JOUR=:',8X,'HEURE=:',8X)
4000 FORMAT(1H+,49X,I2,12X,T2)
5000 FORMAT(29X,44(1H*))/
6000 FORMAT(6X,'APIX=:',/,17(6X,13(F6.2,1X))/),//)
7000 FORMAT(1H1)
9000 FORMAT(6X,'IPIX=:',/,17(6X,13(F6.2,1X))/),//)
1000 FORMAT(1H1)
1001 FORMAT(10X,'PARAMETRE TS',1X,'JOUR=:',I2,1X,'HEURE=',T2)
1002 FORMAT(9X,31(1H*))
1003 FORMAT(10X,I3,1H1,39A1,1H1)
1004 FORMAT(1H+,13X,39A1)
1005 FORMAT(13X,41(1H-))
1008 FORMAT(15X,'LEGENDE:')
1009 FORMAT(15X,8(1H*))
1012 FORMAT(24X,'CLASSE N 1',4X,'APTX.LE.',F6.2)
1013 FORMAT(24X,'CLASSE N 2',4X,'APTX.LE.',F6.2)
1014 FORMAT(24X,'CLASSE N 3',4X,'APTX.LE.',F6.2)
1020 FORMAT(24X,'BLANC=CLASSE DES ZEROS')
1021 FORMAT(1X,//////////)
STOP
END

```

PARAMETER TSJOLAE= 1 NEURE= 12

\*\*\*\*\*

APIX=:

338.60	339.02	339.21	339.09	339.13	339.24	339.67	340.41	339.95	340.04	339.17	336.92	332.00
339.60	339.57	340.70	339.77	340.27	340.65	340.25	339.66	339.70	338.87	336.19	320.47	327.50
339.74	339.63	340.25	340.07	341.26	341.33	339.73	338.43	337.63	325.84	332.27	328.26	326.70
340.76	340.58	340.73	341.62	341.04	329.54	339.90	337.10	335.90	323.77	330.44	328.50	326.02
341.74	340.84	340.76	341.58	340.27	328.85	336.68	334.92	333.17	320.57	327.07	326.39	323.46
340.77	341.11	340.71	329.30	337.55	336.47	335.03	332.79	320.25	326.72	324.06	323.40	321.26
339.70	340.51	339.75	337.17	336.68	325.16	333.91	330.04	326.75	324.34	322.97	320.95	316.76
338.19	340.32	339.10	336.60	335.21	334.15	331.58	328.60	324.69	323.24	320.94	316.11	314.08
336.17	.00	.00	.00	.00	.00	.00	324.06	.00	320.75	314.98	313.30	312.26
.00	.00	.00	.00	.00	.00	.00	.00	.00	.00	314.92	313.24	311.79
.00	.00	.00	.00	.00	.00	.00	.00	.00	.00	317.15	313.89	312.15
.00	.00	.00	.00	.00	.00	.00	.00	317.56	318.47	316.24	313.72	316.97
.00	.00	.00	.00	.00	.00	.00	.00	319.08	317.29	316.26	316.62	319.77
.00	.00	.00	.00	.00	.00	.00	319.53	319.99	318.75	319.98	319.25	319.26
.00	.00	.00	.00	.00	.00	.00	317.46	318.13	319.10	318.69	318.32	318.28
.00	.00	.00	.00	.00	.00	717.74	719.47	718.77	718.70	718.42	719.14	720.17
.00	.00	.00	.00	.00	316.85	717.54	718.40	319.42	317.80	718.04	317.82	718.00

$\Gamma \vdash I \chi = ?$

paramètre TS    jour=: 1    heure=: 12

PARAMETRE TS.JOUR=: 1 HEURE=: 13

---

FACILE ETRE TS JOUR=: 1 HEURE=: 14

\*\*\*\*\*

APIX=:

344.56	344.42	344.42	343.85	343.88	342.46	341.36	341.27	340.61	341.42	341.13	339.38	335.64
343.92	344.84	344.56	344.02	343.12	341.63	340.09	340.17	340.38	340.39	339.13	334.10	326.51
341.36	344.47	345.06	343.98	340.91	340.40	340.57	339.75	339.20	337.99	334.87	330.88	327.92
344.27	344.29	343.00	342.02	341.08	339.31	339.38	338.65	338.33	335.84	332.25	329.38	327.03
345.38	344.99	343.18	342.74	340.05	340.32	339.04	337.14	334.90	321.46	328.53	326.49	324.20
345.03	344.42	342.36	338.86	338.86	338.39	336.67	334.25	330.73	327.20	324.91	324.17	322.57
340.05	340.21	337.28	338.74	337.89	335.61	334.23	330.42	326.29	323.83	323.50	323.44	319.94
339.47	337.03	337.25	336.00	334.27	331.89	331.67	328.35	324.71	324.92	324.79	320.97	319.49
337.07	.00	.00	.00	.00	.00	.00	324.51	.00	324.58	321.66	318.84	318.17
.00	.00	.00	.00	.00	.00	.00	.00	.00	.00	320.23	319.05	317.65
.00	.00	.00	.00	.00	.00	.00	.00	.00	.00	322.39	319.71	317.87
.00	.00	.00	.00	.00	.00	.00	.00	321.88	323.24	321.63	319.67	323.07
.00	.00	.00	.00	.00	.00	.00	.00	323.58	322.39	321.72	322.48	325.16
.00	.00	.00	.00	.00	.00	.00	323.75	323.43	323.94	325.48	324.86	325.45
.00	.00	.00	.00	.00	.00	.00	321.58	322.96	324.34	324.07	324.00	325.96
.00	.00	.00	.00	.00	321.42	322.47	324.02	323.65	322.82	325.25	326.50	
.00	.00	.00	.00	321.07	321.57	322.76	323.97	322.83	323.70	323.63	324.33	

IPIX=: paramètre TS jour=: 1 heure=: 14

344.00	344.00	344.00	343.00	343.00	342.00	341.00	341.00	340.00	341.00	341.00	339.00	335.00
343.00	344.00	344.00	344.00	343.00	341.00	340.00	340.00	340.00	340.00	339.00	334.00	326.00
341.00	344.00	345.00	343.00	340.00	340.00	340.00	339.00	339.00	337.00	334.00	330.00	327.00
344.00	344.00	343.00	342.00	341.00	339.00	339.00	338.00	338.00	335.00	332.00	329.00	327.00
345.00	344.00	343.00	342.00	340.00	340.00	339.00	337.00	334.00	331.00	328.00	326.00	324.00
345.00	344.00	342.00	338.00	338.00	338.00	336.00	334.00	330.00	327.00	324.00	324.00	322.00
340.00	340.00	337.00	338.00	337.00	335.00	334.00	330.00	326.00	323.00	323.00	319.00	
339.00	337.00	337.00	336.00	334.00	331.00	331.00	328.00	324.00	324.00	324.00	320.00	319.00
337.00	888.00	888.00	888.00	888.00	888.00	888.00	888.00	888.00	888.00	888.00	888.00	
888.00	888.00	888.00	888.00	888.00	888.00	888.00	888.00	888.00	888.00	888.00	888.00	
888.00	888.00	888.00	888.00	888.00	888.00	888.00	888.00	888.00	888.00	888.00	888.00	
888.00	888.00	888.00	888.00	888.00	888.00	888.00	888.00	888.00	888.00	888.00	888.00	
888.00	888.00	888.00	888.00	888.00	888.00	888.00	888.00	888.00	888.00	888.00	888.00	
888.00	888.00	888.00	888.00	888.00	888.00	888.00	888.00	888.00	888.00	888.00	888.00	
888.00	888.00	888.00	888.00	888.00	888.00	888.00	888.00	888.00	888.00	888.00	888.00	
888.00	888.00	888.00	888.00	888.00	888.00	888.00	888.00	888.00	888.00	888.00	888.00	
888.00	888.00	888.00	888.00	888.00	888.00	888.00	888.00	888.00	888.00	888.00	888.00	
888.00	888.00	888.00	888.00	888.00	888.00	888.00	888.00	888.00	888.00	888.00	888.00	

FAFANETRE TSJOUR= 1 HEURE=: 15  
 \*\*\*\*\*

APIX=:

342.25	341.78	341.60	340.61	340.48	337.77	335.41	334.82	334.21	335.62	335.65	334.65	333.22
341.51	342.14	341.05	340.49	338.22	335.20	333.59	333.79	334.49	334.93	335.20	332.05	325.78
336.49	341.42	342.14	339.99	333.18	332.39	334.51	334.25	334.15	333.81	331.92	329.04	325.86
341.09	340.20	338.01	335.02	333.21	332.46	333.37	333.55	334.20	332.08	328.98	326.21	324.50
341.15	341.02	337.82	336.37	332.90	334.80	334.62	332.99	330.89	327.41	325.21	323.18	321.77
341.08	339.57	336.28	331.68	333.50	333.67	332.14	330.05	326.40	323.72	321.92	321.64	320.86
332.97	332.77	328.41	323.65	322.59	320.13	328.91	326.05	322.14	320.29	321.68	322.53	321.01
333.75	327.30	329.05	329.26	326.82	324.40	326.67	323.87	321.52	323.28	325.28	322.90	322.25
331.42	.00	.00	.00	.00	.00	.00	321.93	.00	325.21	323.96	321.72	321.35
.00	.00	.00	.00	.00	.00	.00	.00	.00	322.77	321.74	320.36	
.00	.00	.00	.00	.00	.00	.00	.00	.00	324.18	321.98	320.43	
.00	.00	.00	.00	.00	.00	.00	.00	323.29	324.53	323.47	322.17	324.32
.00	.00	.00	.00	.00	.00	.00	.00	324.36	323.86	323.35	323.65	325.21
.00	.00	.00	.00	.00	.00	.00	324.30	324.15	324.99	326.01	325.08	325.52
.00	.00	.00	.00	.00	.00	.00	322.20	323.77	324.79	324.32	324.15	326.08
.00	.00	.00	.00	.00	.00	322.05	322.83	324.29	323.82	323.83	325.12	326.10
.00	.00	.00	.00	.00	321.74	321.96	323.04	323.82	322.96	323.06	323.38	323.75

IPIX=:	paramètre	TS	jour =:	heure=: 15
342.00	341.00	341.00	340.00	340.00
341.00	342.00	341.00	340.00	338.00
336.00	341.00	342.00	339.00	333.00
341.00	340.00	338.00	335.00	333.00
341.00	341.00	337.00	336.00	332.00
341.00	339.00	336.00	331.00	333.00
332.00	332.00	328.00	333.00	332.00
333.00	327.00	329.00	329.00	326.00
331.00	888.00	888.00	888.00	888.00
888.00	888.00	888.00	888.00	888.00
888.00	888.00	888.00	888.00	888.00
888.00	888.00	888.00	888.00	888.00
888.00	888.00	888.00	888.00	888.00
888.00	888.00	888.00	888.00	888.00
888.00	888.00	888.00	888.00	888.00
888.00	888.00	888.00	888.00	888.00
888.00	888.00	888.00	888.00	888.00
888.00	888.00	888.00	888.00	888.00
888.00	888.00	888.00	888.00	888.00

PARAMETRE TS JOUR=04 HEURE=12

\*\*\*\*\*

1I.....I  
2I.....I  
3I.....I  
4I.....I  
5I.....I  
6I.....I  
7I.....I  
8I.....I  
9I.....I  
10I.....I  
11I.....I  
12I.....I  
13I.....I  
14I.....I  
15I.....I  
16I.....I  
17I.....I  
18I.....I  
19I.....I  
20I.....I  
21I.....I  
22I.....I  
23I.....I  
24I.....I  
25I...  
26I...  
27I...  
28I  
29I  
30I  
31I  
32I  
33I  
34I  
35I  
36I  
37I  
38I  
39I  
40I  
41I  
42I  
43I  
44I  
45I  
46I  
47I  
48I  
49I  
50I  
51I

LEGENDE:

\*\*\*\*\*

CLASSE N 1 APIX.LE.323.00

CLASSE N 2 APIX.LE.356.00

CLASSE N 3 APIX.LE.341.00

BLANC=CLASSE DES ZEROS

PARAMETRE TS JOUR=04 HEURE=13

\*\*\*\*\*

-----  
11//...I  
21//...I  
31//...I  
41//...I  
51//...I  
61//...I  
71//...I  
81//...I  
91//...I  
101//...I  
111//...I  
121//...I  
131//...I  
141//...I  
151//...I  
161//...I  
171//...I  
181//...I  
191//...I  
201//...I  
211//...I  
221//...I  
231//...I  
241//...I  
251///...I  
261///...I  
271///...I  
281  
291  
301  
311  
321  
331  
341  
351  
361  
371  
381  
391  
401  
411  
421  
431  
441  
451  
461  
471  
481  
491  
501  
511  
-----

LEGENDE:

\*\*\*\*\*

CLASSE N 1 APIX.LE.344.00  
CLASSE N 2 APIX.LE.347.00  
CLASSE N 3 APIX.LE.345.00  
BLANC=CLASSE DES ZEROS

PARAMETRE TS JOUR=04 HEURE=14

\*\*\*\*\*

-----  
1I//////////...I  
2I//////////...I  
3I//////////...I  
4I//////////...II  
5I//////////...II  
6I//////////...II  
7I//////////...I  
8I//////////...I  
9I//////////...I  
10I//////////...I  
11I//////////...I  
12I//////////...I  
13I//////////...I  
14I//////////...II  
15I//////////...II  
16I//////////...II  
17I//////////...II  
18I//////////...II  
19I//////////...II  
20I//////////...II  
21I//////////...II  
22I//////////...II  
23I//////////...II  
24I//////////...II  
25I...  
26I...  
27I...  
28I  
29I  
30I  
31I  
32I  
33I  
34I  
35I  
36I  
37I  
38I  
39I  
40I  
41I  
42I  
43I  
44I  
45I  
46I  
47I  
48I  
49I  
50I  
51I  
-----

LEGENDE:

\*\*\*\*\*

CLASSE N 1 APIX.LE.346.00

CLASSE N 2 APTX.LE.347.00

CLASSE N 3 APIX.LE.345.00

BLANC=CLASSE DES ZEROS

PARAMETRE TS JOUR=04 HEURE=15

\*\*\*\*\*

1I.....I  
 2I.....I  
 3I.....I  
 4I.....I  
 5I.....I  
 6I.....I  
 7I.....I  
 8I.....I  
 9I.....I  
 10I.....I  
 11I.....I  
 12I.....I  
 13I.....I  
 14I.....I  
 15I.....I  
 16I.....I  
 17I.....I  
 18I.....I  
 19I.....I  
 20I.....I  
 21I.....I  
 22I.....I  
 23I.....I  
 24I.....I  
 25I...  
 26I...  
 27I...  
 28I  
 29I  
 30I  
 31I  
 32I  
 33I  
 34I  
 35I  
 36I  
 37I  
 38I  
 39I  
 40I  
 41I  
 42I  
 43I  
 44I  
 45I  
 46I  
 47I  
 48I  
 49I  
 50I  
 51I

## LEGENDE:

\*\*\*\*\*

CLASSE N 1 APIX.LE.3€6.00  
 CLASSE N 2 APIX.LE.335.00  
 CLASSE N 3 APIX.LE.342.00  
 PLANC=CLASSE DES ZEROS

### Application du modèle MEFORI

Le découpage étant fait, il s'agit maintenant de trouver le barycentre, l'écart-type et la variance de chaque classe.

Ce travail est fait au moyen du programme "MOYVAR".

Les résultats et le programme sont illustrés à partir de la page suivante.

On appliquera ensuite le modèle au point le plus proche de la moyenne, ainsi qu'au point le plus éloigné de cette dernière, et ceci pour l'ensemble des classes de l'image.

On pourra ainsi voir de combien s'écartent les paramètres de sortie, juger donc donc de l'efficacité de notre découpage, et déterminer éventuellement, en étudiant soigneusement les paramètres de sortie, la nature des objets homogènes identifiées.



YVAN

```

IV(I,J)=1
S(1)=S(1)+FLOAT(V(J))
GO TO 27
21 N(2)=N(2)+1
IV(I,J)=2
S(2)=S(2)+FLOAT(V(J))
GOTO27
22 N(3)=N(3)+1
IV(I,J)=3
S(3)=S(3)+FLOAT(V(J))
27 CONTINUE
DO 28 I=1,NCL
28 XMOY(I)=S(I)/FLOAT(N(I))
DO 29 I=1,NCL
29 S(I)=0.
DO 38 I=1,17
DO38 J=1,13
V(J)=IPIX(I,J)
K=IV(I,J)
GOTO(30,31,32,38),K
30 S(1)=S(1)+(FLOAT(V(J))-XMOY(1))**2
GO TO 38
31 S(2)=S(2)+(FLOAT(V(J))-XMOY(2))**2
GO TO 38
32 S(3)=S(3)+(FLOAT(V(J))-XMOY(3))**2
38 CONTINUE
DO 39 I=1,NCL
VAR(I)=S(I)/FLOAT(N(I))
ECAR(I)=SGRT(VAR(I))
39 CONTINUE
PRINT 10000
PRINT 10001
DO 40 I=1,NCL
PRINT11000,XMOY(I),VAR(I),ECAR(I)
PRINT 11100,T,I,T
PRINT 10001
40 CONTINUE
STOP
121 FORMAT(3F8.2)
1000 FORMAT(2I2)
2000 FORMAT(24F8.2)
3000 FORMAT(1X,///)
4001 FORMAT(30X,'PARAMETRE TS','JOUR=:',8X,'HEURE=:',8X)
4000 FORMAT(1H+,49X,I2,12X,I2)
5000 FORMAT(29X,44(1H*))/
7000 FORMAT(1X,/)
8000 FORMAT(6X,'APIX=:',//,17(6X,13(F6.2,1X)/),///)
9000 FORMAT(6X,'IPIX=:',//,17(6X,13(F6.2,1X)/),/)
10000 FORMAT(1X,///)
10001 FORMAT(5X,66(1H*))
11000 FORMAT(5X,1HI,'XMOY(  )=:',F6.2,6X,
*'VAR(  )=:',F8.2,6X,'ECAR(  )=:',F8.2,1HI)
11100 FORMAT(1H+,10X,I2,19X,I2,24X,I2)
12000 FORMAT(I1)
END

```

PARAMETRE TSJOUR=: 1 HEURE=: 16

\*\*\*\*\*

APIX=:

337.54 336.81 336.49 335.19 334.87 331.05 327.64 326.69 326.30 328.08 328.27 328.01 329.02  
336.79 337.13 335.37 334.85 331.29 326.98 325.06 325.81 326.89 327.66 329.33 328.28 323.76  
329.70 336.15 336.96 333.84 323.75 322.81 326.80 327.07 327.38 327.90 327.35 325.78 322.61  
335.15 334.03 330.97 326.11 325.03 324.07 325.75 326.76 328.29 326.74 324.28 321.81 320.91  
334.79 334.88 330.48 328.16 324.15 327.56 328.43 327.14 325.31 322.02 320.75 318.96 318.55  
334.93 332.58 328.28 322.92 326.46 327.19 325.94 324.31 321.26 319.22 318.13 318.32 318.36  
324.18 323.68 318.18 326.84 325.61 323.07 322.12 320.44 317.09 316.09 318.68 320.70 321.25  
326.30 316.32 319.50 321.10 318.05 315.80 320.47 318.45 317.59 320.80 324.71 323.86 324.07  
324.24 .00 .00 .00 .00 .00 318.66 .00 324.86 325.01 323.63 323.55  
.00 .00 .00 .00 .00 .00 .00 .00 .00 324.35 323.38 322.06  
.00 .00 .00 .00 .00 .00 .00 .00 .00 324.77 323.07 321.91  
.00 .00 .00 .00 .00 .00 .00 323.67 324.55 324.05 323.49 324.16  
.00 .00 .00 .00 .00 .00 .00 .00 323.91 324.12 323.75 323.45 323.74  
.00 .00 .00 .00 .00 .00 .00 323.74 323.64 324.69 325.07 323.80 324.08  
.00 .00 .00 .00 .00 .00 .00 321.75 323.29 323.86 323.14 322.74 324.64  
.00 .00 .00 .00 .00 .00 321.66 322.04 323.22 322.64 322.39 323.36 324.10  
.00 .00 .00 .00 .00 321.36 321.25 322.09 322.45 321.75 322.57 321.66 321.81

32

\*\*\*\*\*  
IXMOY( 1 )=:321.58 VAR(1 )=: 5.20 FCAR( 1 )=: 2,28I  
\*\*\*\*\*  
IXMOY( 2 )=:327.17 VAR(2 )=: 3.84 FCAR( 2 )=: 1.96I  
\*\*\*\*\*  
IXMOY( 3 )=:335.19 VAR(3 )=: 1.15 FCAR( 3 )=: 1.07I  
\*\*\*\*\*  
IXMOY( 4 )=: .00 VAR(4 )=: .00 FCAR( 4 )=: .00I  
\*\*\*\*\*

PARAMETRE TSJOUR=: 1 HFURE=: 14.

\*\*\*\*\*

APIX=:

344.56 344.42 344.42 343.85 343.88 342.46 341.36 341.27 340.51 341.42 341.13 339.38 335.64  
343.92 344.84 344.56 344.02 343.12 341.63 340.49 340.17 340.38 340.39 339.13 334.10 326.51  
341.36 344.47 345.06 343.98 340.91 340.40 340.57 339.75 339.20 337.99 334.87 330.88 327.92  
344.87 344.29 343.00 342.08 341.08 339.31 339.38 338.65 338.33 335.84 332.25 329.38 327.03  
345.38 344.99 343.18 342.74 340.05 340.32 339.04 337.14 334.90 331.46 328.53 326.49 324.20  
345.03 344.42 342.36 338.86 338.86 338.39 336.67 334.25 330.23 327.20 324.91 324.17 322.57  
340.05 340.21 337.28 338.74 337.89 335.61 324.23 330.42 326.29 323.83 323.90 323.44 319.94  
339.47 337.03 337.25 336.00 334.27 331.89 321.67 328.35 324.71 324.92 324.79 320.97 319.49  
337.07 .00 .00 .00 .00 .00 324.51 .00 324.58 321.66 318.84 318.17  
.00 .00 .00 .00 .00 .00 .00 .00 .00 320.23 319.05 317.65  
.00 .00 .00 .00 .00 .00 .00 .00 .00 322.39 319.71 317.87  
.00 .00 .00 .00 .00 .00 .00 .00 321.88 323.24 321.63 319.67 323.07  
.00 .00 .00 .00 .00 .00 .00 .00 323.58 322.39 321.72 322.48 325.16  
.00 .00 .00 .00 .00 .00 .00 .00 321.75 323.43 323.94 325.48 324.86 325.45  
.00 .00 .00 .00 .00 .00 .00 .00 321.58 322.96 324.34 324.07 324.08 325.96  
.00 .00 .00 .00 .00 .00 321.42 322.47 324.02 323.65 323.82 325.25 326.50  
.00 .00 .00 .00 .00 321.07 321.57 322.76 323.87 322.83 323.70 323.63 324.73

33

\*\*\*\*\*  
IXMOY( 1 )=:322.44 VAR(1 )=: 4.84 ECAR( 1 )=: 2.20I  
\*\*\*\*\*

IXMOY( 2 )=:332.94 VAR(2 )=: 11.67 ECAR( 2 )=: 3.42I  
\*\*\*\*\*

IXMOY( 3 )=:341.29 VAR(3 )=: 4.69 ECAR( 3 )=: 2.17I  
\*\*\*\*\*

IXMOY( 4 )=: .00 VAR(4 )=: .00 ECAR( 4 )=: .00I  
\*\*\*\*\*

CHAPITRE IVIntroduction

Dans ce chapitre, on essayera de voir comment, à partir d'un nombre limité de stations sol, pouvoir représenter au mieux une région donnée.

1. Région d'étude

Notre étude va porter sur l'atlas blidéen qui occupe une superficie de 1572,2 km<sup>2</sup>.

Il forme la partie centrale de l'atlas tellien, limité au nord par la Mitidja, à l'ouest par l'oued Chiffa, au sud par l'oued Mellah et à l'est par le col des deux bassins.

2. Choix du paramètre météorologique

On sait que les stations météorologiques prélèvent des mesures horaires, quotidiennes, voire mensuelles, des différents paramètres climatiques ( température, vitesse du vent, humidité de l'air...etc.)

Dans ce qui suit, on travaillera uniquement sur le paramètre "température", vu son importance sur l'apport d'énergie à la végétation.

3. Présentation de nos données

Les données thermiques utilisées dans cette étude sont tirées de la thèse de M. A. HALIMI intitulée l'Atlas blidéen, parue à l'O.P.U (1980). Elles ont été enregistrées sur une période de quinze (15) années (1948-1962).

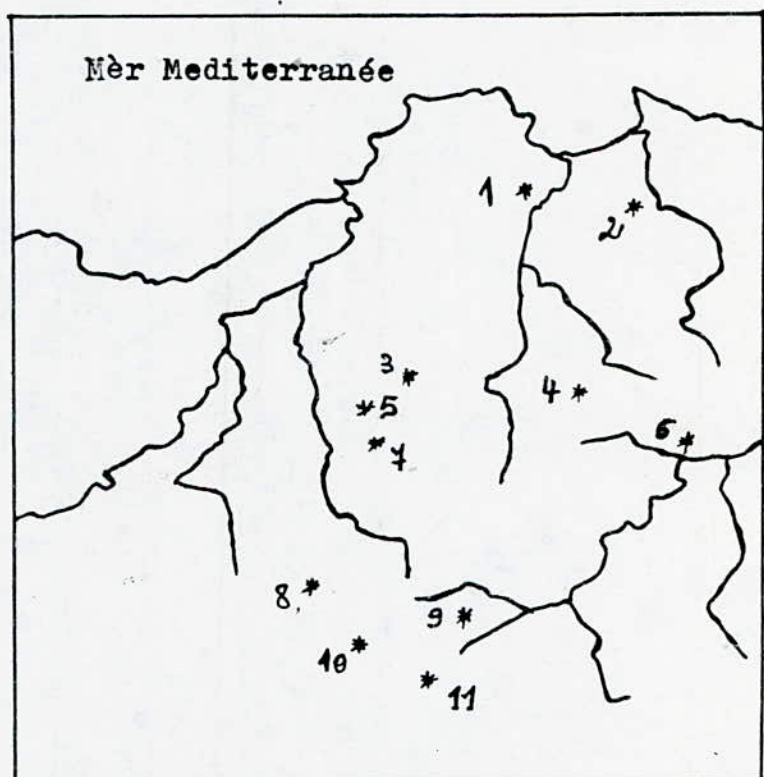
Les données de la température peuvent représenter comme suit:

- Températures horaires
- Températures journalières
- Extrêmes mensuels (moyennes mensuelles)

C'est cette dernière variété de données qui est utilisée dans ce travail.

CARTE DE LA ZONE ETUDIEE

Sites des stations :



- 1- Maison-Carrée
- 2- Dar-El-Beida
- 3- Boufarik
- 4- Haouch-Merdja
- 5- Blida
- 6- Tablat
- 7- Chréa
- 8- Médéa
- 9- Omaria
- 10- Ben-Chicao
- 11- Berrouaguia

STATIQUE	$X_1$	$X_2$	$X_3$	$X_1 = X - \bar{X}_1$	$X_2 = X - \bar{X}_2$	$X_3 = X - \bar{X}_3$	$X_1 * X_2$	$X_1 * X_3$	$X_2 * X_3$	$X_1^2$	$X_2^2$	$X_3^2$
Boufarik	18.34	0.5	180	2.94	-6.56	-170	-19.88	-499.8	+1115.2	8.64	43.03	28900
	18.63	2.67	220	3.23	-4.39	-130	-9.79	-289.9	570.7	10.43	19.27	16900
	11.1	15.5	300	-4.3	8.44	-50	-36.29	215	-422	18.49	71.23	2500
	14.6	9.28	420	-0.8	2.22	70	-1.78	-56	155.4	0.64	4.94	4900
	14.4	9	250	-1.0	1.94	-100	-1.94	100	-194	1.0	3.76	10000
	13.83	11.3	510	-1.57	4.24	160	-6.65	-251.2	678.4	2.46	17.97	25600
	14.3	9.1	620	-1.2	2.04	270	-2.45	-324	550.8	1.44	4.16	72900
	14.7	8.5	540	-0.7	1.44	190	-1.01	-133	273.6	0.49	2.07	36100
Dar El Oued	17.7	0.24	40	2.3	-6.82	-310	-15.68	-713	2114.2	5.89	39.43	96100
Tablat	16.5	4.5	420	1.1	-2.56	70	-2.81	77	-179.2	1.21	6.55	4900
Somme	15.4 $\bar{X}_1$	$\bar{X}_2 = 7.06$	$\bar{X}_3 = 350$	TABLEAU - A -	$X_1 * X_2 = -97.68$	$X_1 * X_3 = -1874.9$	$X_2 * X_3 = 4663.1$			50.09	212.38	298800

TABLEAU (A) - et - Moyennes-Mensuelles - et - Calculs pour La

#### 4. Eléments de calcul: méthode de régression simple

La méthode de régression est convenable pour combler les lacunes des observations insuffisantes de certaines stations; à partir des observations d'autres stations voisines, prises pour base, et caractérisées par des séries de mesures, recueillies sur une longue période.

La condition d'efficacité de cette méthode est que cette régression soit linéaire, que le coefficient de corrélation entre les paramètres des deux stations soit élevé.

Une autre condition requise est que les variables confrontées doivent suivre une loi normale.

#### 5. Première approche de regroupement des stations

Pour ce faire, on a utilisé une régression simple. Les deux variables considérées sont Y et X.

Y= Température de la station sur laquelle on veut interpoler.

X= Température de la station de référence.

On aboutit, après calcul, à un Y estimé qui sera la nouvelle valeur de Y. L'équation liant ces deux variables est la suivante :

$$Y \text{ est.} = C.X + D$$

C= le multiplicateur, défini par:  $C = \frac{T_x Y}{T_x^2}$

D= constante, donnée par:  $D = M_y - C.M_x$

$M_y$  et  $M_x$  étant les moyennes des deux séries considérées :  $M_y = \frac{T_y}{n}$  ;  $M_x = \frac{T_x}{n}$

$T_x$ ,  $T_y$  étant les sommes des termes de chacune des deux séries.

$$T_x = \sum_{i=1}^n X_i ; \quad T_y = \sum_{i=1}^n Y_i$$

$T_{xy}$  : somme des produits des termes, pris deux à deux  
( ces termes doivent avoir les mêmes coordonnées ou indices ).

$$T_{xy} = \sum_{i=1}^n X_i Y_i$$

$$T_{x^2} = \sum_{i=1}^n X_i^2$$

La méthode la plus commode pour représenter de tels calculs est l'utilisation d'un tableau:

X	Y	$X Y$	$X^2$	$Y^2$
$X_1$	$Y_1$	$X_1 Y_1$	$X_1^2$	$Y_1^2$
:	:	:	:	:
$X_n$	$Y_n$	$X_n Y_n$	$X_n^2$	$Y_n^2$
$\sum_{i=1}^n X_i$	$T_{yi}$	$T_{xy}$	$T_{x^2}$	$T_{y^2}$

Pour éviter des calculs encombrants et fastidieux, on a conçu un programme dont le but est de nous donner les différents termes du tableau ci-dessus : Ce qui nous permettra, par la suite, d'évaluer  $Y$  est.

#### + Critères portant sur le choix d'une station de référence

Il n'est pas à rappeler que tout choix doit tenir compte de certaines normes et doit répondre à un certain but fixé.

Comme critère dans notre choix, il a été question de stations de référence pouvant englober le maximum de stations en ne dépassant pas, toutefois, un certain ~~nombre~~ **seuil** d'erreurs

(erreur entre la valeur calculée et la valeur vraie fixée au départ ).

Arbitrairement, on s'est fixé un seuil acceptable de deux degrés :

$$\text{Err} \leqslant 2 \text{ degrés}$$

PROGRAMMES - RESULTATS

```

C*****  

C PROGRAMME COMPAREG  

C CALCUL DES COEFFICIENTS DES  

C EQUATIONS DE REGRESSION  

C CHAQUE STATION EST TESTEE  

C COMME STATION DE REFERENCES  

C*****  

      INTEGER XSTAT,YSTAT  

      DIMENSION SI(17)  

      DIMENSION XSTAT(15),YSTAT(15)  

      DIMENSION AV(15),E(15)  

      DIMENSION BV(12),BW(12)  

      REAL (105,161)I  

      REAL (105,162)J(AV(J),J=1,L)  

      READ(105,162)YSTAT  

      DO 5 NCAS=1,10  

      READ(105,163)(BV(J),J=1,L)  

      READ(105,164)YSTAT  

      SY=0.  

      SY=0.  

      DO 1 J=1,L  

      SX=SX+AV(J)  

      SY=SY+BV(J)  

1     CONTINUE  

      S1=SX/FLOAT(L)  

      S2=SY/FLOAT(L)  

      PRINT 1003  

      PRINT 1000,S1,S2  

      S11=0.  

      S22=0.  

      DO 2 J=1,L  

      S11=S11+(AV(J)*BV(J))  

      S22=S22+(AV(J)**2)  

2     CONTINUE  

      C=(S11/S22)  

      D=(S2-(C*S1))  

      PRINT 999,(BV(J),J=1,L)  

      PRINT 1001,C,E  

      PRINT 1004  

      PRINT 1005  

      PRINT 1006  

      DO 3 J=1,L  

      AK(J)=C*AV(J)+D  

3     CONTINUE  

C*****  

C CALCUL DE L'ERREUR MOYENNE  

C ENTRE YESTIME ET YVRAIS  

C*****  

      SF(1)=0.  

      DO 4 J=1,L  

      F(J)=ABS(AV(J)-BV(J))  

      SF(J+1)=SF(J)+F(J)  

      PRINT 1006,J,AV(J),BV(J),F(J)  

      PRINT 1004  

4     CONTINUE  

      XMCYEE=SF(L+1)/12.  

      PRINT 1008,XMCYER  

      PRINT 1007,XSTAT,YSTAT  

      CONTINUE

```

~~100~~ FORMAT(12FF.2)  
~~101~~ FORMAT(12)  
~~102~~ FORMAT(15A1)  
~~103~~ FORMAT(30X,6(F5.2,2X),30X,6(F5.2,2X))  
~~104~~ FORMAT(30X,'S1='',F5.2,/,30X,'S2='',F5.2)  
~~105~~ FORMAT(30X,'C='',F5.2,/,30X,'D='',F5.2)  
~~106~~ FORMAT(1E1)  
~~107~~ FORMAT(31X,36(1H\*))  
~~108~~ FORMAT(30X,1HT,1X,'MOIS',2X,1HT,2X,'XXXX',2X,1HT,  
 \*2X,'YYYY',2X,1HT,2X,'ERREUR',2X,1HT,/,1)  
~~109~~ FORMAT(30X,1HT,3X,T2,2X,1HT,1X,F5.2,1X,1HT,1X,F5.2,1X,  
 \*1HT,1X,F5.2,1X,1HT)  
~~110~~ FORMAT(30X,'STATTON-REF='',15A1,/,30X,'STATTON-ETUDTEF='  
 \*,15A1)  
~~111~~ FORMAT(30X,'NGYERREFUR='',F5.2)  
STOP  
END

S2=14.18

5.10	6.40	9.10	12.00	15.80	20.30
24.80	24.70	20.60	15.60	9.80	6.00

C= 1.01

D= .24

\*\*\*\*\*  
I MOIS I XXX I YYY I ERREUR T

\*\*\*\*\*  
I 1 I 4.60 I 4.88 I .22 T  
\*\*\*\*\*  
I 2 I 6.20 I 6.49 I .09 T  
\*\*\*\*\*  
I 3 I 8.40 I 8.71 I .39 T  
\*\*\*\*\*  
I 4 I 10.95 I 11.28 I .72 T  
\*\*\*\*\*  
I 5 I 15.70 I 16.07 I .27 T  
\*\*\*\*\*  
I 6 I 20.80 I 21.21 I .91 T  
\*\*\*\*\*  
I 7 I 25.60 I 26.06 I 1.26 T  
\*\*\*\*\*  
I 8 I 25.20 I 25.65 I .95 T  
\*\*\*\*\*  
I 9 I 19.50 I 19.90 I .70 T  
\*\*\*\*\*  
I 10 I 14.80 I 15.16 I .44 T  
\*\*\*\*\*  
I 11 I 8.50 I 8.81 I .99 T  
\*\*\*\*\*  
I 12 I 5.70 I 5.98 I .02 T  
\*\*\*\*\*

MOYERREUR=.58

S1=13.83REF=\*\*\*\*BEN-CHICAC\*

S2=14.60ETUDIEE=\*\*\*BERROUAGHIA\*

6.10	6.80	9.30	11.60	16.00	20.60
25.00	25.20	21.70	15.40	10.60	6.90

C= 1.03

D= .36

\*\*\*\*\*  
I MOIS I XXX I YYY I ERREUR T

\*\*\*\*\*  
I 1 I 4.60 I 5.10 I 1.00 T  
\*\*\*\*\*  
I 2 I 6.20 I 6.74 I .06 T  
\*\*\*\*\*  
I 3 I 8.40 I 9.01 I .29 T  
\*\*\*\*\*  
I 4 I 10.95 I 11.64 I .04 T  
\*\*\*\*\*  
I 5 I 15.70 I 16.53 I .53 T  
\*\*\*\*\*  
I 6 I 20.80 I 21.78 I 1.18 T  
\*\*\*\*\*  
I 7 I 25.60 I 26.72 I 1.72 T  
\*\*\*\*\*  
I 8 I 25.20 I 26.31 I 1.11 T  
\*\*\*\*\*  
I 9 I 19.50 I 20.44 I 1.26 T  
\*\*\*\*\*  
I 10 I 14.80 I 15.60 I .20 T  
\*\*\*\*\*  
I 11 I 8.50 I 9.11 I 1.49 T  
\*\*\*\*\*  
I 12 I 5.70 I 6.23 I .67 T  
\*\*\*\*\*

MOYERREUR=.79

STATION-REF=\*\*\*\*BEN-CHICAC\*

STATION-ETUDIEE=\*\*\*\*MEDEA\*\*\*\*\*

CCREIA..

S1=13.83

S2=11.07

7.00	3.30	5.00	8.00	12.70	16.60
21.80	22.20	18.70	11.40	6.90	3.70

C= .83

D= -.43

\*\*\*\*\*  
I I C I S I XXX I YYY I ERPEUR T

\*\*\*\*\*  
I 1 I 4.60 I 3.40 I .40 T

\*\*\*\*\*  
I 2 I 6.20 T 4.73 I 1.43 T

\*\*\*\*\*  
I 3 I 8.40 I 6.56 T 1.56 T

\*\*\*\*\*  
I 4 I 10.95 I 8.68 T .68 T

\*\*\*\*\*  
I 5 I 15.70 T 12.63 T .07 T

\*\*\*\*\*  
I 6 T 20.80 I 16.87 T .27 T

\*\*\*\*\*  
I 7 I 25.60 I 20.86 T .94 T

\*\*\*\*\*  
I 8 I 25.20 I 20.53 T 1.67 T

\*\*\*\*\*  
I 9 I 19.50 I 15.79 T 2.51 T

\*\*\*\*\*  
I 10 T 14.80 T 11.88 T .48 T

\*\*\*\*\*  
I 11 T 8.50 T 6.64 T .26 T

\*\*\*\*\*  
I 12 T 5.70 T 4.31 T .61 T

\*\*\*\*\*  
MCYERREUR=.91

STATION-BFF=\*\*\*BEN-CHTCAC\*

STATION-ETUDIEE=\*\*\*CHREA\*\*\*\*\*

RESULTATS OBTENUS PAR LA PREMIERE APPROCHE

NOTA: Les stations de référence ont été choisies:

- en fonction de l'erreur moyenne pour chaque station qui leur est liée; l'erreur devant être inférieure à deux degrés pour chaque mois (l'erreur moyenne est calculée par le programme, " compare g").
- parce qu'elles couvrent le maximum de stations possibles.

Station de référence :BOUFARIK

Station liée	Omaria	Dar-El-Beida	Tablat	BBida	Maison-Carrée
Erreur moyenne	1.57	0.57	0.69	0.32	0.41

BEN-CHICAO

Station liée	Médéa	Bérrouagbia	Chréa
Erreur moyenne	0.79	0.58	1.04

TABLAT

Station liée	Blida	Omaria	Boufarik
Erreur moyenne	0.83	0.93	0.74

BERROUAGUIA

Station liée	Médéa	Haouch-Merdja	Omaria
Erreur moyenne	0.44	0.64	0.78

## 6. Deuxième approche.

Dans cette deuxième approche, et compte tenu des résultats précédents, on essaiera d'aboutir, pour chaque station prise comme référence, à une seule équation, qui permettra de retrouver la température dans les autres stations qui lui sont liées.

+ On part de l'équation de régression de la première approche qui est la suivante :

$$Y_1 \text{ est.} = C_1 X_{\text{ref.}} + D_1$$

Il faut alors uniformiser cette dernière de façon à obtenir une équation générale :

$$Y_i \text{ est.} = C_m X_{\text{ref.}} + D_m$$

$$\text{Avec } C_m = \sum_{i=1}^n C_i / n, \quad D_m = \sum_{i=1}^n D_i / n$$

Il est évident qu'une telle transformation va entraîner des erreurs au niveau des nouvelles valeurs de  $Y_i \text{ est.}$ .

Pour pallier ce problème, on va introduire le gradient altitudinal ( coefficient représentant l'influence de l'altitude sur la température ) et le gradient distance à la mer ( coefficient représentant l'influence de la distance à la mer sur la température ).

Il est à noter que ces gradients sont des coefficients correcteurs des erreurs entraînées par l'utilisation de  $C_m$  et  $D_m$  au lieu de  $C_i$  et  $D_i$ .

Pour déterminer ces deux gradients, on utilisera deux méthodes différentes :

### a- Méthode de superposition

Le but étant de déterminer l'influence de l'altitude et de la distance à la mer sur la température, on opérera comme suit :

#### - Influence de l'altitude

On choisit des stations qui sont à égale distance de la mer mais différentes par leur altitude.

La différence des moyennes annuelles de ces stations sera considérée comme étant due à l'écart des altitudes entre ces stations.

#### - Influence de la distance à la mer

On choisit des stations qui ont la même altitude mais qui accusent des différences dans leur distance à la mer.

La différence des moyennes annuelles entre ces stations sera considérée comme le résultat des écarts de distance à la mer de ces stations.

Remarque : Une telle étude pourrait être efficace si on disposait de beaucoup de stations répondant à ces critères, et si les deux effets (effet de l'altitude et effet de l'éloignement à la mer) sont indépendants.

Les coefficients d'influence étant déterminés, et compte tenu des résultats de la première approche, l'équation représentative pour chaque station sera de la forme suivante:

$$Y_s = C \cdot X_r - \frac{0.423}{100 \text{ (m)}} \frac{(H_s - H_r)}{\text{ (m)}} - \frac{0.0011}{100 \text{ (m)}} \frac{(D_s - D_r)}{\text{ km}} \cdot 1000$$

#### + Justification du facteur $(H_s - H_r)$ et du facteur $(D_s - D_r)$ .

L'expression de  $Y_s$  est calculée en fonction de  $X_r$ , température de la station de référence. Or, cette station qu'on appellera STAT-REF est située à une altitude  $H_r$  et à une distance  $D_r$  à la mer, ainsi qu'une fraction de température résultant de l'altitude et une autre fraction résultant de la distance à la mer sont déjà contenues dans la valeur de  $X_r$ .

Pour rétablir le déficit (l'influence de l'altitude et de la distance à la mer sont négatives), on ramène  $X_r$  à sa valeur à zéro (0) mètre d'altitude et à zéro (0) km distance à la mer.

PROGRAMMES - RESULTATS

INFLUENCE ALTITUDE:

Benchicao ( 51, 1129 )	Médéa ( 42, 928 )	Boufarik ( 18,50 )
Omaria ( 54, 850 )	Tablat ( 42,450 )	Merdja ( 25,900 )

Mois	Janv	Févr	Mars	Avril	Mai	Juin	Juil	Aout	Sept	Oct	Nov	Dec
Benchi- -cao	4,6	6,2	8,4	10,95	15,7	20,8	25,6	25,2	19,5	14,8	8,5	5,7
Omaria	6,9	7,3	9,4	11,8	15,9	20,2	23,9	24,9	21,4	15,5	11,3	8,0
Erreur	2,3	1,1	1,0	0,85	0,2	-0,6	-1,7	-0,3	1,9	0,7	2,8	2,3

Erreur moyenne = 1,095

Différence altitude = 279 m

Gradient altitude 1 = 0,392

Mois	Janv	Fév	Mars	Avril	Mai	Juin	Juil	Aout	Sept	Oct	Nov	Des
Médéa	6,1	6,8	9,3	11,6	16,0	20,6	25,0	25,2	21,7	15,4	10,6	6,9
Tablat	9,05	9,6	11,8	13,8	17,5	21,5	24,4	26,2	23,0	17,7	13,8	10,
Erreur	2,95	2,8	2,5	2,2	1,5	0,9	-0,3	1	1,3	2,3	3,2	3,

Erreur moyenne = 2,045

Différence altitude = 478 m

Gradient altitude 1 = 0,422

INFLUENCE ALTITUDE

Boufarik ( 18; 50 )

Merdja ( 25; 900 )

Mois	Janv	Fév	Mars	Avril	Mai	Juin	Juil	Aput	Sept	Oct	Nov	Dec
Boufarik	10,7	11,8	14,0	15,7	19,3	23,0	25,6	26,7	25,2	19,8	15,5	12,8
Merdja	6,3	7,0	9,2	11,5	15,8	20,1	23,9	24,7	21,2	15,2	10,9	7,6
Erreur	4,4	4,8	4,8	4,2	3,5	2,9	1,7	2	4	4,6	4,6	5,2

Erreur moyenne = 3,891

Différence altitude = 850 m

Gradient altitude 1 = 0,457

—•—————•—

Grad-Altit-Moy = ( Grad1 + Grad2 + Grad3 ) / 3

Grad-Moy = 0,423° par 100 m

INFLUENCE de la DISTANCE à la MER

Médéa (928; 12)

Berrouaguia (910; 62)

Berrouaguia (910; 62)

Merdja (900; 25)

Mois	Janv	Févr	Mars	Avril	Mai	Juin	JUIL	Aout	Sept	Oct	Nov	Dec
Médéa	6,1	6,8	9,3	11,6	16,0	20,6	25,0	25,2	21,7	15,4	10,6	6,9
Berrouaguia	5,1	6,4	9,1	12,0	15,8	20,3	24,8	24,7	20,6	15,6	9,8	6,0
Erreur	1	0,4	0,2	-0,4	0,2	0,3	0,2	0,5	1,1	-0,2	0,8	0,9

Erreur moyenne = 0,311

Différence distance mer = 20 km

Gradient distance mer =  $1,55 \cdot 10^{-3}$ 

Mois	Janv	Févr	Mars	Avril	Mai	Juin	JUIL	Aout	Sept	Oct	Nov	Dec
Merdja	6,3	7,0	9,2	11,5	15,8	20,1	23,9	24,7	21,2	15,2	10,9	7,6
Berrouaguia	5,1	6,4	9,1	12,0	15,8	20,3	24,8	24,7	20,6	15,6	9,8	6,0
Erreur	1,2	0,6	0,1	-0,5	0	-0,2	-0,9	0	0,6	-0,4	1,1	1,6

Erreur moyenne = 0,266

Différence distance mer = 37 km

Gradient distance mer =  $0,72 \cdot 10^{-3}$

$$\text{Grad-Dist-Moy} = (\text{Grad1} + \text{Grad2} + \text{Grad3}) / 3$$

$$\text{Grad-Moy} = 1,135 \cdot 10^{-3} \text{ par } \text{m}$$

RESULTATS de la METHODE A:

$$\text{Grad-Altit} = -0,423^\circ \text{ par } 100 \text{ m}$$

$$\text{Grad-Dist} = -0,0011^\circ \text{ par } 100 \text{ m}$$

b- Deuxième méthode

1- élément de calcul : Certains aspects de la dépendance entre des variables aléatoires , ou entre une variable aléatoire et des variables certaines (les variables dites " explicatives" ne sont pas obligatoirement des variables aléatoires ), pour être décrits nous obligent à utiliser la régression multiple.

Celà revient, en pratique , à considérer l' action des variables explicatives sur la variable expliquée. Cette action est estimée à l'aide des coefficients  $b_1, b_2, \dots$   $b_i$  qui interviennent dans l'équation de régression multiple:

$$Y = \sum_{i=1}^n b_i \cdot X_i + \text{cste}$$

Quand l'un des coefficients  $b_i$  est nul, celà signifie que la variable correspondante  $X_i$  n'a aucune utilité pour la variable expliquée  $Y$ .

- Équation de régression- plan de régression

Une équation de régression est une équation qui permet d'estimer une variable  $X_1$  par exemple, en fonction de variables indépendantes  $X_2, X_3, \dots$

Cette équation est notée:  $X_1 = F(X_2, X_3, \dots)$ .

L' équation de régression la plus simple entre trois (3) variables,  $X_1$  en fonction de  $X_2$  et  $X_3$  a la forme suivante :  $X_1 = b_2 \cdot X_2 + b_3 \cdot X_3 + b_4 \quad (1)$   
 $b_2, b_3, b_4$  étant des constantes.

Si  $X_3$  reste constante dans l'équation (1), le graphe de  $X_1$  en fonction de  $X_2$  est une droite de pente  $b_2$ , de même si  $X_2$  est constante, le graphe  $X_1$  en fonction de  $X_3$  est une droite de pente  $b_3$ .

$b_2$  et  $b_3$  sont quelquefois appelés coefficients de régression partielle quand  $X_1$  varie partiellement du fait des variations de  $X_2$  ou  $X_3$ .

Dans un système de coordonnées rectangulaires à trois (3) dimensions, l'équation (1) représente un plan que l'on appelle plan de régression.

#### Calcul des coefficients

Les coefficients  $b_2$ ,  $b_3$ ,  $b_4$  sont déterminés par la résolution simultanée des équations normales.

$$\begin{aligned}\sum X_1 &= b_4 \cdot N + b_2 \sum X_2 + b_3 \sum X_3 \\ \sum X_1 \cdot X_2 &= b_4 \sum X_2 + b_2 \sum X_2^2 + b_3 \sum X_3 \cdot X_2 \\ \sum X_1 \cdot X_3 &= b_4 \sum X_3 + b_2 \sum X_2 \cdot X_3 + b_3 \sum X_3^2\end{aligned}$$

Ces équations s'obtiennent en multipliant successivement l'équation (1) par  $1, X_2$  et  $X_3$  et en sommant membre à membre.

Une méthode plus simple, qui évite la résolution d'équations simultanées est la suivante: on pose :

$$x_1 = X_1 - \sum \frac{X_1}{n} \quad (\bar{x} = \sum \frac{x}{n})$$

$$x_2 = X_2 - \bar{X}_2$$

$$x_3 = X_3 - \bar{X}_3$$

L'équation (1) devient :  $x_1 = b_2 \cdot x_2 + b_3 \cdot x_3$   
et  $b_1 = \bar{X}_1 - b_2 \cdot \bar{X}_2 - b_3 \cdot \bar{X}_3$

En faisant intervenir les coefficients de corrélation linéaire respectifs entre  $X_1$  et  $X_2$ ,  $X_1$  et  $X_3$ ,  $X_2$  et  $X_3$  l'équation (1) s'écritra :

avec:

$$R_{X_1 X_2} = \frac{T_{X_1 X_2}}{\left( T_{X_1}^2 T_{X_2}^2 \right)^{1/2}} ; \quad R_{X_1 X_3} = \frac{T_{X_1 X_3}}{\left( T_{X_1}^2 T_{X_3}^2 \right)^{1/2}} ;$$

$$R_{X_2 X_3} = \frac{T_{X_2 X_3}}{\left( T_{X_2}^2 T_{X_3}^2 \right)^{1/2}}$$

$$(1) \quad \frac{x_1}{s_1} = \frac{R_{X_1 X_2} - R_{X_1 X_3} \cdot R_{X_2 X_3}}{\left( 1 - R_{X_2 X_3}^2 \right)} \times \frac{x_2}{s_2} + \frac{R_{X_1 X_3} - R_{X_1 X_2} \cdot R_{X_2 X_3}}{\left( 1 - R_{X_2 X_3}^2 \right)} \times \frac{x_3}{s_3}$$

$$B_2 = \frac{\left( R_{X_1 X_2} - R_{X_1 X_3} \cdot R_{X_2 X_3} \right) \times s_1}{1 - R_{X_2 X_3}^2} \frac{s_2}{s_3}$$

$$B_3 = \frac{\left( R_{X_1 X_3} - R_{X_1 X_2} \cdot R_{X_2 X_3} \right) \cdot s_1}{1 - R_{X_2 X_3}^2} \frac{s_2}{s_3}$$

$$B_1 = \bar{x}_1 - B_2 \bar{x}_2 - B_3 \bar{x}_3$$

Pour notre étude on se limitera à dix stations.

Les températures utilisées seront les moyennes

annuelles sur la période de 15 années ( 48-62 ) pour les 10 stations. Les valeurs sont portées sur Le Tableau A

Moyennes et écarts types calculés à partir du tableau A

Variables	Moyennes $\bar{X}$	Ecart type S1
$X_1$	15.4	2.23
$X_2$	7.06	4.68
$X_3$	350	172.85

Coefficients de corrélation:

$$R_{X_1 X_2} = -0,947$$

$$R_{X_2 X_3} = +0,585$$

$$R_{X_1 X_3} = -0,488$$

Coefficient  $B_1$  et  $B_2$ :

$$B_1 = -0,48^{\circ}\text{C} \text{ par } 100 \text{ m}$$

$$B_2 = +0,0013^{\circ}\text{C} \text{ par } 100 \text{ m}$$

```

C*****PROGRAMME TEST-CHCTX-2*****
C TEST SUR LES DIFFERENTES
C STATIONS DE REFErencES
C METHODE DE REGRESSION
C MULTIPLE

REAL K1,K2
INTEGER XSTAT,YSTAT
DIMENSION XSTAT(15),YSTAT(15)
DIMENSION TS(15),ER(15)
DIMENSION PR(15),TR(15)
READ(105,100)
READ(105,101)K1,K2
READ(105,104)CTR(J),J=1,L1
READ(105,105)XSTAT
READ(105,107)PR,DR
READ(105,102)A,P
DO 2 ICAS=1,3
READ(105,104)(BW(J),J=1,L1)
READ(105,105)YSTAT
READ(105,103)US,DS
PRINT 1000
PRINT 1001,A,P,US,DS
PRINT 1002,K1,K2
PRINT 1012,XSTAT,YSTAT
PRINT 1003
PRINT 1004
PRINT 1005
DO 1 J=1,L1
TS(J)=A*TR(J)-K1*(FS-UR)/100.+K2*10.* (DS-DR)+P
ER(J)=TS(J)-PR(J)
PRINT 1005,J,TR(J),TS(J),ER(J)
PRINT 1007
PRINT 1008
PRINT 1009
PRINT 1006
1 CONTINUE
2 CONTINUE
100 FORMAT(T2)
101 FORMAT(2EE.2)
102 FORMAT(F4.2,4X,F5.2)
103 FORMAT(F5.0,4X,F3.0)
104 FORMAT(12E5.2)
105 FORMAT(15A1)
1060 FORMAT(1H1)
1061 FORMAT(30X,'A=:',F4.2,,30X,'B=:',F5.2,,30X,'ALTITUDE=:',F5.0,5X,
*'DIST-MR=:',F3.0)
1062 FORMAT(30X,'GRAD-ALTITUDE=',F5.3,2X,'GRAD-DIST=',F5.3,,)
1012 FORMAT(40X,'STAT-REF=',15A1,,40X,'STAT-REFCH=',15A1)
1063 FORMAT(30X,46(1H*))
1064 FORMAT(30X,7(1H),2X,'MOTS',1X,3(1H),1X,'IP(J)',1X,3(1H),2X,'TS(
*J)',1X,3(1H),2X,'ER(J)',2X,7(1H))
1065 FORMAT(31X,1H0,5X,T2,2X,1H0,2X,F5.2,2X,1H0,3X,F5.2,2X,1H0,3X,F5.2,
*3X,1H0)
1066 FORMAT(31X,45(1H-))
1067 FORMAT(1H+,30X,1HH,9X,1HH,9X,1HH,10X,1HH,11X,1HH)
1068 FORMAT(1H+,30Y,1H7,9Y,1H7,9Y,1H7,10Y,1H7,11Y,1H7)
1069 FORMAT(1H+,30X,1H0,9X,1H0,9Y,1H0,1CY,1H0,11X,1H0)

STOP
END

```

A=1.01 Résultats méthode -A-  
 B=.2°  
 ALTITUDE= 928. DIST-MER=42.  
 GRAD-ALTITUDE= .480 GRAD-DIST= .001

		STAT-REF=...BERROLAHTA.
		STAT-REFCH=...MFDEA.....
*****		
III	MOIS	III TR(J) III TS(J) TIT EF(J) III
*****	*****	*****
0	1	8 5.10 8 5.09 8 -.01 8
0	2	8 6.40 8 6.41 8 -.39 8
0	3	8 9.10 8 9.12 8 -.17 8
0	4	8 12.00 8 12.06 8 .46 8
0	5	8 15.80 8 15.90 8 -.10 8
0	6	8 20.30 8 20.45 8 -.15 8
0	7	8 24.80 8 24.99 8 -.01 8
0	8	8 24.70 8 24.89 8 -.31 8
0	9	8 20.60 8 20.75 8 -.95 8
0	10	8 15.60 8 15.70 8 .30 8
0	11	8 9.80 8 9.84 8 -.76 8
0	12	8 6.00 8 6.00 8 -.90 8
0		

A=1.01 Résultats méthode -B-  
 B=.2°  
 ALTITUDE= 928. DIST-MER=42.  
 GRAD-ALTITUDE= .432 GRAD-DIST= .001

		STAT-REF=...BERROLAHTA.
		STAT-REFCH=...MFDEA.....
*****		
III	MOIS	III TR(J) III TS(J) TIT EF(J) III
*****	*****	*****
0	1	8 5.10 8 5.50 8 -.60 8
0	2	8 6.40 8 6.82 8 .02 8
0	3	8 9.10 8 9.54 8 .24 8
0	4	8 12.00 8 12.47 8 .87 8
0	5	8 15.80 8 16.31 8 .31 8
0	6	8 20.30 8 20.86 8 .26 8
0	7	8 24.80 8 25.40 8 .40 8
0	8	8 24.70 8 25.30 8 .10 8
0	9	8 20.60 8 21.16 8 -.54 8
0	10	8 15.60 8 16.11 8 .71 8
0	11	8 9.80 8 10.25 8 -.35 8
0	12	8 6.00 8 6.41 8 -.49 8
0		

RESULTATS OBTENUS PAR LA METHODE - A -

( Programme test choix- 1 - )

Station de référence: BOUFARIK

Station liée	Omaria	Dar-EL-Beida	Tablat	Blida	Maison-Carrée
Erreur moyenne	1.09	0.63	0.99	2.36	0.49

BEN-CHICAO

Station liée	Médéa	Berrougui-a	Chréa
Erreur moyenne	0.47	0.61	2.09

TABLAT

Station liée	Blida	Omaria	Boufarik
Erreur moyenne	0.66	0.86	0.71

BERROUAGUIA

Station liée	Médéa	Haouch-Merdja	Omaria
Erreur moyenne	0.46	0.65	0.77

RESULTATS OBTENUS PAR LA METHODE - B -

( Programme test-choix - 2 - )

Station de référence: BOUFARIQUE

Station liée	Omaria	Dar-El-Beida	Tablat	Blida	Maison-Carrée
Erreur moyenne	1.27	0.56	1.27	2.33	0.42

BEN-CHICAO

Station liée	Médéa	Berrouagui Chréa - a	
Erreur moyenne	0.46	0.50	2.83

TABLAT

Station liée	Blida	Omaria	Boufarik
Erreur moyenne	0.52	0.82	0.99

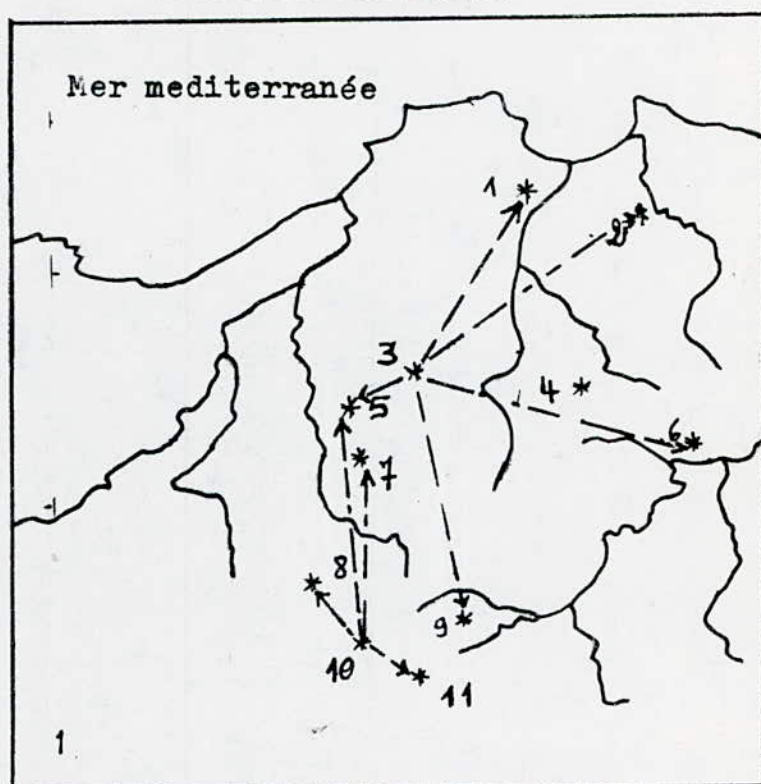
BERROUAGUIA

Station liée	Médéa	Haouch-Merdja	Omaria
Erreur moyenne	0.40	0.81	0.79

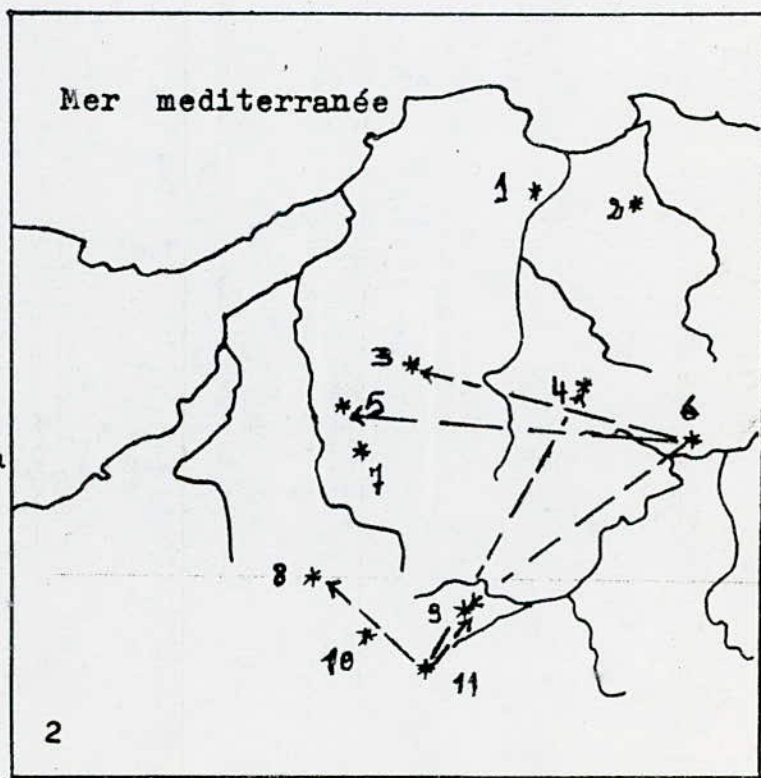
CARTES MONTRANT STATIONS DE REFERENCE& LES STATIONS LIEES :Carte 1 :

a) STAT.REF.:  
3 (Boufarik)  
Stat.Liées:  
9-, 1, 6, 5, 2.

b) STAT.REF.:  
10 (Ben-Chicao)  
Stat.Liées:  
8, 11; 7.

Carte 2 :

a) STAT.REF.:  
6 (Tablat)  
Stat.Liées:  
5, 9; 3.  
  
b) STAT.REF.:  
11 (Berrouaguia)  
Stat.Liées:  
8, 4, 9.



CONCLUSION:

D'après les résultats obtenus par les deux méthodes sur l'erreur moyenne, on peut avancer ce qui suit:

- les deux méthodes sont équivalentes;
- elles présentent à peu-près la même erreur moyenne pour chaque station.

-+—————+-

ZONES D'INFLUENCE POUR CHAQUE STATION  
DE REFERENCE.

Dans notre étude qui n'est qu'une première ébauche pour ce problème ( zone d'influence ) on a essayé d'aborder ce sujet mais il s'est avéré que cela doit s'effectuer avec des études expérimentales sur le terrain lui-même, ce qui n'a pas été possible .

Il faut monter une stations expérimentales et prendre des mesures pour une certaine période afin de comparer avec les mesures qui seront calculées avec l'équation citée auparavant et selon la différence:  $T^{\circ}$  vrai -  $T^{\circ}$  estimée .

On conclura si ce point rentre dans la zone d'influence de telle ou telle station.

### CONCLUSION GENERALE

Le but de ce projet était de trouver un moyen de spatialisation d'une région au Mali (65 km x 85 km) à partir de données satellite, et de voir comment, à partir d'un nombre limité de stations sol, pouvoir retrouver les paramètres météorologiques en tout point de la région.

Pour ce faire, on a conçu des algorithmes informatiques, explicités en détail, de façon à permettre leur exploitation ultérieure par un autre utilisateur.

Bien évidemment ce travail est loin d'être exhaustif, le but lointain étant de déterminer des propriétés physiques caractéristiques de la surface observée; une étude complémentaire devrait être effectuée pour compléter nos résultats.

-oOo- Bibliographie -oOo-

- Télédétection en Algérie  
par A. Abdellaoui - sept. 1983
- Deux méthodes d'utilisation de la télédétection en géologie ( cartographie automatique des éléments linéaires, stéréoscopie gravimétrique)  
- thèse de doctorat -  
par Bernard Fourcade
- Atlas blidéen (thèse de doctorat)  
par A. Halimi - O.P.U 1980-
- Bulletin de l'union des physiciens  
- Janvier 1981 -
- Group agromet monitoring project (Gamp)  
-rapport scientifique-
- FORTRAN IV  
par M. Dreyfus